

F4110
Fyzika atomárních soustav
letní semestr 2005 - 2006

VIII.
Kvantová interferometrie

KOTLÁŘSKÁ 19. DUBNA 2006

Úvodem

- Druhá část přednášky o kvantové interferometrii
- Kromě samotné interferenční podmínky je důležitá otázka kontrastu, tedy viditelnosti „proužků“
- Výpočet intensit a zavedení koherenčních funkcí pro smíšený stav
- Interference pomocí vlnových klubek
- Koherenční délka a jak obnovit fázovou koherenci jakoby již ztracenou

Znovu Schrödingerovy vlny

B7 Schrödingerovy vlny

Volná částice:

rovinná vlna	$\Psi(\mathbf{r}, t) = A e^{-i(\omega t - \mathbf{k}\mathbf{r})}$	de Broglie $\mathbf{k} = \mathbf{p}/\hbar, \quad \omega = E/\hbar$
$\mathbf{k} \rightarrow -\mathbf{k}$	$\Psi'(\mathbf{r}, t) = A e^{-i(\omega t + \mathbf{k}\mathbf{r})}$	dvě řešení ... stoj. vlna
$E \rightarrow E - E_0$	$\Psi''(\mathbf{r}, t) = A e^{-i(\omega t + \mathbf{k}\mathbf{r})} \cdot e^{+i\omega_0 t}$	volba počátku energií

tomu odpovídá

Schrödingerova rovnice	$i\hbar \frac{\partial}{\partial t} \Psi(\mathbf{r}, t) = -\frac{\hbar^2}{2m} \Delta \Psi(\mathbf{r}, t)$	<ul style="list-style-type: none"> • 1. řádu v čase ... poč. podm. $\Psi(\mathbf{r}, t_0)$ • lineární ... princip superposice
---------------------------	---	--

Částice ve vnějším
poli:

$$i\hbar \frac{\partial}{\partial t} \Psi(\mathbf{r}, t) = -\frac{\hbar^2}{2m} \Delta \Psi(\mathbf{r}, t) + V(\mathbf{r}) \Psi(\mathbf{r}, t)$$

stacionární řešení

$$+\Delta\psi(\mathbf{r}) + \frac{2m}{\hbar^2}(E - V(\mathbf{r}))\psi(\mathbf{r}) = 0, \quad \Psi(\mathbf{r}, t) = \psi(\mathbf{r}) e^{-i\omega t}$$

$\underbrace{\qquad\qquad}_{k^2(\mathbf{r})}$

velikost
lokálního vlnového vektoru

B7 Schrödingerovy vlny – kvaziklasická approximace

Částice ve vnějším

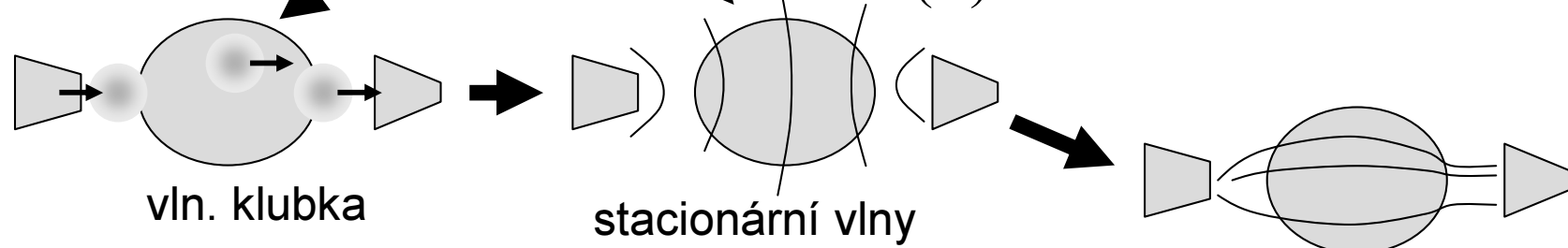
poli:
Schrödingerova
rovnice

$$i\hbar \frac{\partial}{\partial t} \Psi(\mathbf{r}, t) = -\frac{\hbar^2}{2m} \Delta \Psi(\mathbf{r}, t) + V(\mathbf{r}) \Psi(\mathbf{r}, t) \quad \Psi(\mathbf{r}, t_0)$$

stacionární řešení $\Delta \psi(\mathbf{r}) + \frac{2m}{\hbar^2} (E - V(\mathbf{r})) \psi(\mathbf{r}) = 0, \quad \Psi(\mathbf{r}, t) = \psi(\mathbf{r}) e^{-i\omega t}$

velikost

lokálního vlnového vektoru



vlastně Fresnelova approximace fys. optiky

$$\psi(\mathbf{r}) = A(\mathbf{r}) \cdot \exp(i/\hbar \cdot S)$$

INDEX LOMU

$$k(\mathbf{r}) = \sqrt{\frac{2m}{\hbar^2} (E - V(\mathbf{r}))} = \sqrt{\frac{2m}{\hbar^2} E} \sqrt{1 - \frac{V(\mathbf{r})}{E}}$$

$$S(\mathbf{r}) = \oint \mathbf{d}s \cdot \mathbf{k}(\mathbf{r}(s))$$

$$k_0 \cdot n(\mathbf{r})$$



B7 Schrödingerovy vlny – kvaziklasická approximace

Částice ve vnějším

poli: Schrödingerova rovnice

$$i\hbar \frac{\partial}{\partial t} \Psi(\mathbf{r},t) = -\frac{\hbar^2}{2m} \Delta \Psi(\mathbf{r},t) + V(\mathbf{r})\Psi(\mathbf{r},t) \quad \Psi(\mathbf{r},t_0)$$

stacionární

DNES PŮJDEM POZPÁTKU

A diagram illustrating a vln. klubka (vibrating cluster). It shows a large, irregularly shaped cell containing a smaller, darker, roughly spherical nucleus. Two smaller, lighter-colored cells are budding off from the main cell's surface. An arrow points towards the main cell, indicating its direction of movement or vibration.

The diagram shows a central gray sphere representing a source of waves. From its surface, several concentric ellipsoids represent wavefronts propagating outwards. Two small gray rectangular boxes, representing detectors or sensors, are positioned at different distances from the source. A large black arrow points from the source towards one of the detectors, labeled "stacionární vlny" (stationary waves). Another black arrow points away from the source, labeled "lokální vlny" (local waves). The text "výkon vektoru" is also visible near the top right.

vlastně Fresnelova approximace fys. optiky

$$\psi(\mathbf{r}) = A(\mathbf{r}) \cdot \exp(i/\hbar \cdot S)$$

INDEX LOMU

$$k(\mathbf{r}) = \sqrt{\frac{2m}{\hbar^2}(E - V(\mathbf{r}))} = \sqrt{\frac{2m}{\hbar^2}E} \sqrt{1 - \frac{V(\mathbf{r})}{E}}$$

$$S(\mathbf{r}) = \oint d\mathbf{s} \cdot \mathbf{k}(\mathbf{r}(s))$$

$$\rightarrow k_0 \cdot n(r)$$

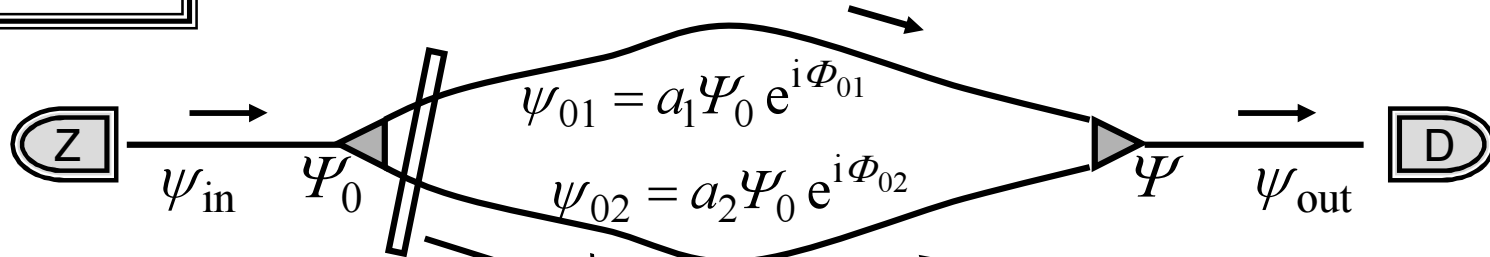


I. krok
Průchod stacionární vlny interferometrem

Intensita na výstupu interferometru I: stacionární monochromatická vlna

Obecné schema
interferometru

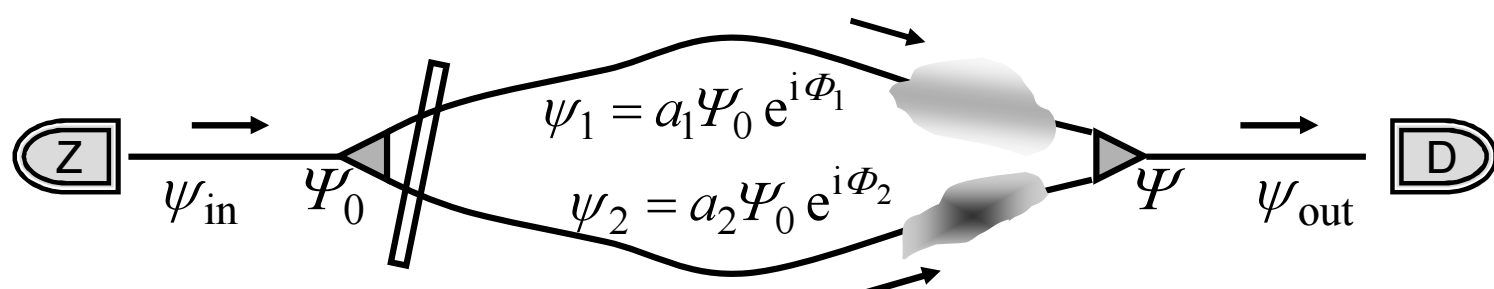
prázdný interferometr



$$a_1 \geq 0, \quad a_2 \geq 0 \quad \text{ostatní je ve fázi}$$

$$a_1^2 + a_2^2 = 1 \quad \text{zachování toku}$$

interferometr se vzorkem nebo vnějším polem



$$\Psi = \psi_1 + \psi_2 = (a_1 e^{i\Phi_1} + a_2 e^{i\Phi_2}) \Psi_0 =$$

$$e^{i(\Phi_1+\Phi_2)/2} \Psi_0 (a_1 e^{+i(\Phi_1-\Phi_2)/2} + a_2 e^{-i(\Phi_1-\Phi_2)/2})$$

Intensita na výstupu interferometru I: stacionární monochromatická vlna

INTENSITY

$$I = |\Psi|^2 \quad I_0 = |\Psi_0|^2$$

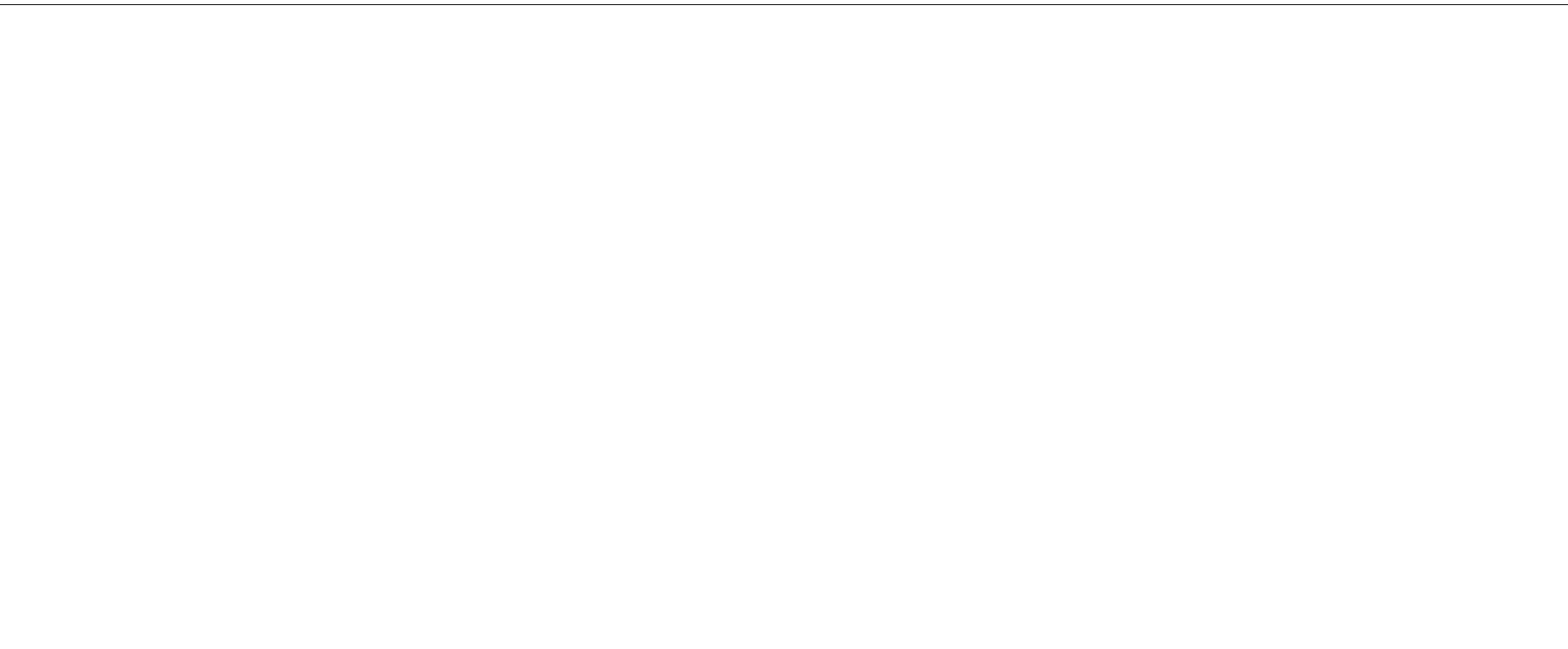
$$a_1 \geq 0, \quad a_2 \geq 0$$

prázdný interferometr

$$a_1^2 + a_2^2 = 1$$

$$\Psi = \psi_{01} + \psi_{02} = (a_1 + a_2) \Psi_0 e^{i\Phi_{01}}, \quad \Phi_{01} = \Phi_{02}$$

$$I = |\psi_{01} + \psi_{02}|^2 = I_0(1 + 2a_1a_2)$$



Intensita na výstupu interferometru I: stacionární monochromatická vlna

INTENSITY

$$I = |\Psi|^2 \quad I_0 = |\Psi_0|^2$$

$$a_1 \geq 0, \quad a_2 \geq 0$$

prázdný interferometr

$$a_1^2 + a_2^2 = 1$$

$$\Psi = \psi_{01} + \psi_{02} = (a_1 + a_2) \Psi_0 e^{i\Phi_{01}}, \quad \Phi_{01} = \Phi_{02}$$

$$I = |\psi_{01} + \psi_{02}|^2 = I_0(1 + 2a_1a_2)$$

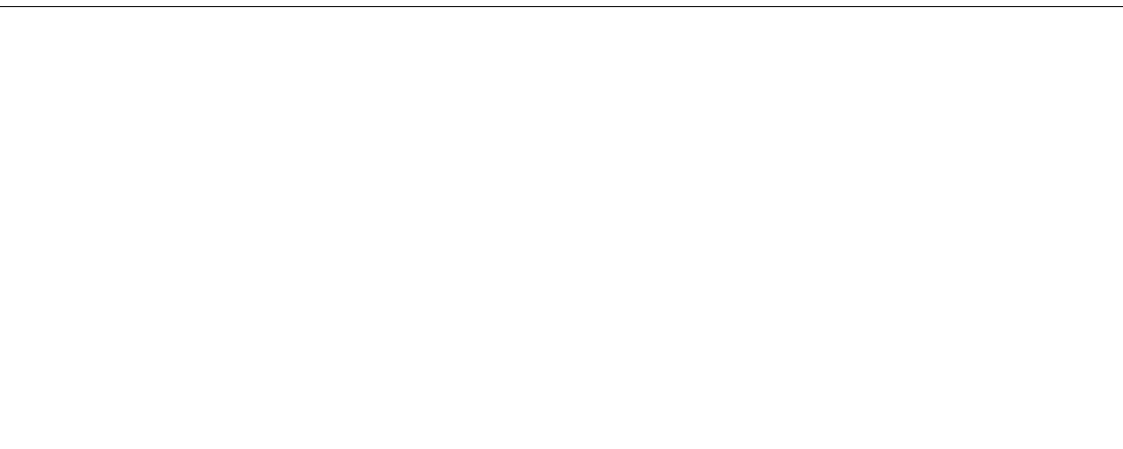
interferometr se vzorkem nebo vnějším polem

$$\Psi = \psi_1 + \psi_2 = e^{i(\Phi_1 + \Phi_2)/2} \Psi_0 (a_1 e^{+i\Delta\Phi/2} + a_2 e^{-i\Delta\Phi/2})$$

$$\Phi_1 - \Phi_2 \equiv \Delta\Phi$$

$$I = |\psi_1 + \psi_2|^2 = I_0(1 + 2a_1a_2 \cdot \cos \Delta\Phi)$$

$$-1 \leq \cos \Delta\Phi \leq 1$$



Intensita na výstupu interferometru I: stacionární monochromatická vlna

INTENSITY

$$I = |\Psi|^2 \quad I_0 = |\Psi_0|^2$$

$$a_1 \geq 0, \quad a_2 \geq 0$$

prázdný interferometr

$$a_1^2 + a_2^2 = 1$$

$$\Psi = \psi_{01} + \psi_{02} = (a_1 + a_2) \Psi_0 e^{i\Phi_{01}}, \quad \Phi_{01} = \Phi_{02}$$

$$I = |\psi_{01} + \psi_{02}|^2 = I_0(1 + 2a_1a_2)$$

interferometr se vzorkem nebo vnějším polem

$$\Psi = \psi_1 + \psi_2 = e^{i(\Phi_1 + \Phi_2)/2} \Psi_0 (a_1 e^{+i\Delta\Phi/2} + a_2 e^{-i\Delta\Phi/2})$$

$$\Phi_1 - \Phi_2 \equiv \Delta\Phi$$

$$I = |\psi_1 + \psi_2|^2 = I_0(1 + 2a_1a_2 \cdot \cos \Delta\Phi)$$

$$-1 \leq \cos \Delta\Phi \leq 1$$

kontrast *visibility*

$$V = \frac{I_{\max} - I_{\min}}{I_{\max} + I_{\min}} = \frac{I_0(1 + 2a_1a_2) - I_0(1 - 2a_1a_2)}{I_0(1 + 2a_1a_2) + I_0(1 - 2a_1a_2)}$$

$$V = 2a_1a_2$$

Intensita na výstupu interferometru I: stacionární monochromatická vlna

INTENSITY

$$I = |\Psi|^2 \quad I_0 = |\Psi_0|^2$$

$$a_1 \geq 0, \quad a_2 \geq 0$$

prázdný interferometr

$$a_1^2 + a_2^2 = 1$$

$$\Psi = \psi_{01} + \psi_{02} = (a_1 + a_2) \Psi_0 e^{i\Phi_{01}}, \quad \Phi_{01} = \Phi_{02}$$

$$I = |\psi_{01} + \psi_{02}|^2 = I_0(1 + 2a_1a_2) = I_{\max}$$

interferometr se vzorkem nebo vnějším polem

$$\Psi = \psi_1 + \psi_2 = e^{i(\Phi_1 + \Phi_2)/2} \Psi_0 (a_1 e^{+i\Delta\Phi/2} + a_2 e^{-i\Delta\Phi/2})$$

$$\Phi_1 - \Phi_2 \equiv \Delta\Phi$$

$$I = |\psi_1 + \psi_2|^2 = I_0(1 + 2a_1a_2 \cdot \cos \Delta\Phi)$$

$$-1 \leq \cos \Delta\Phi \leq 1$$

kontrast *visibility*

$$V = \frac{I_{\max} - I_{\min}}{I_{\max} + I_{\min}} = \frac{I_0(1 + 2a_1a_2) - I_0(1 - 2a_1a_2)}{I_0(1 + 2a_1a_2) + I_0(1 - 2a_1a_2)}$$

$$V = 2a_1a_2$$

Intensita na výstupu interferometru I: stacionární monochromatická vlna

kontrast *visibility* a výběr cesty *which way welcher Weg*

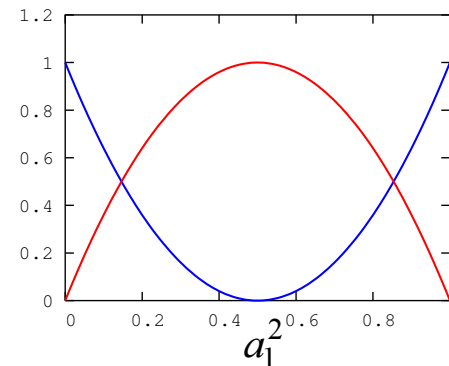
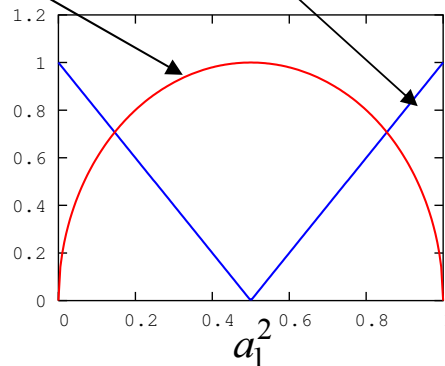
$$V = 2a_1 a_2$$

$$W = |a_1^2 - a_2^2|$$

$$V^2 + W^2 = 1$$

$$a_1 \geq 0, \quad a_2 \geq 0$$

$$a_1^2 + a_2^2 = 1$$



Kontrast je největší pro symetrické rozdělení svazků, když volba cesty jedním anebo druhým ramenem je neurčitá

Intensita na výstupu interferometru I: stacionární monochromatická vlna

kontrast *visibility* a výběr cesty *which way welcher Weg*

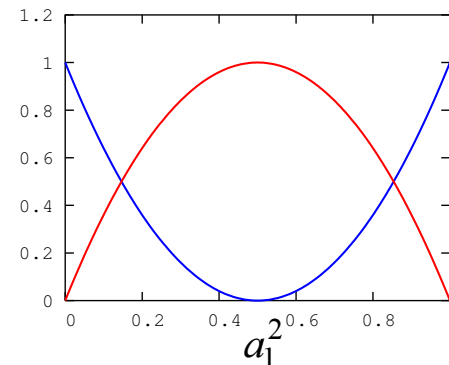
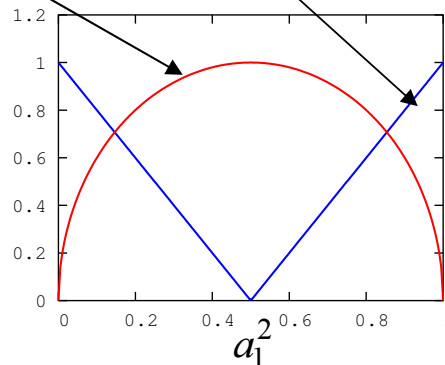
$$V = 2a_1 a_2$$

$$W = |a_1^2 - a_2^2|$$

$$V^2 + W^2 = 1$$

$$a_1 \geq 0, \quad a_2 \geq 0$$

$$a_1^2 + a_2^2 = 1$$



Kontrast je největší pro symetrické rozdělení svazků, když volba cesty jedním anebo druhým ramenem je neurčitá

$$\frac{I}{I_{\max}} = \frac{1 + 2a_1 a_2 \cdot \cos \Delta\Phi}{1 + 2a_1 a_2}$$

$$a_1^2 = 0.9, a_2^2 = 0.1$$

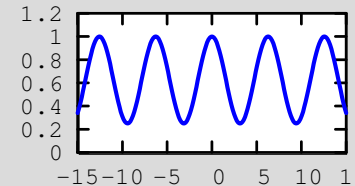
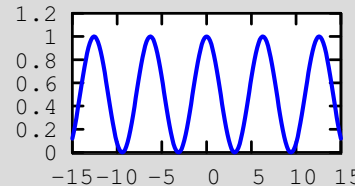
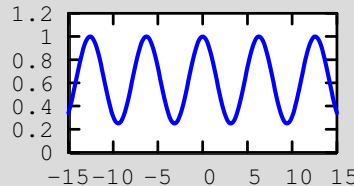
$$a_1^2 = 0.5, a_2^2 = 0.5$$

$$a_1^2 = 0.1, a_2^2 = 0.9$$

$$V = 0.6, W = 0.8$$

$$V = 1.0, W = 0.0$$

$$V = 0.6, W = 0.8$$



Vložka:
výpočet $\Delta\Phi$ pro optický potenciál

B7 Optický potenciál neutronů v PL

celková potenciální energie ve vzorku → efektivní konstantní pot. energie

$$V(\mathbf{r}) = \frac{2\pi\hbar^2}{m} \cdot \sum b_i \cdot \delta(\mathbf{r} - \mathbf{r}_i) \rightarrow V_{\text{OPT}} = \frac{2\pi\hbar^2}{m} \cdot \bar{b} \cdot N$$

Dlouhovlnné neutrony vnímají prostorovou střední hodnotu potenciální energie

index lomu

$$n(\mathbf{r}) \approx 1 - V_{\text{OPT}}(\mathbf{r})/2E$$

$$E = \frac{\hbar^2}{2m} k_0^2 = \frac{\hbar^2}{2m} \cdot \frac{1}{\lambda_0^2}$$

$$n(\mathbf{r}) \approx 1 - \lambda_0^2 \times \bar{b} \cdot N / 2\pi$$

Interferenčním měřením indexu lomu najdeme rozptylovou délku b !!!

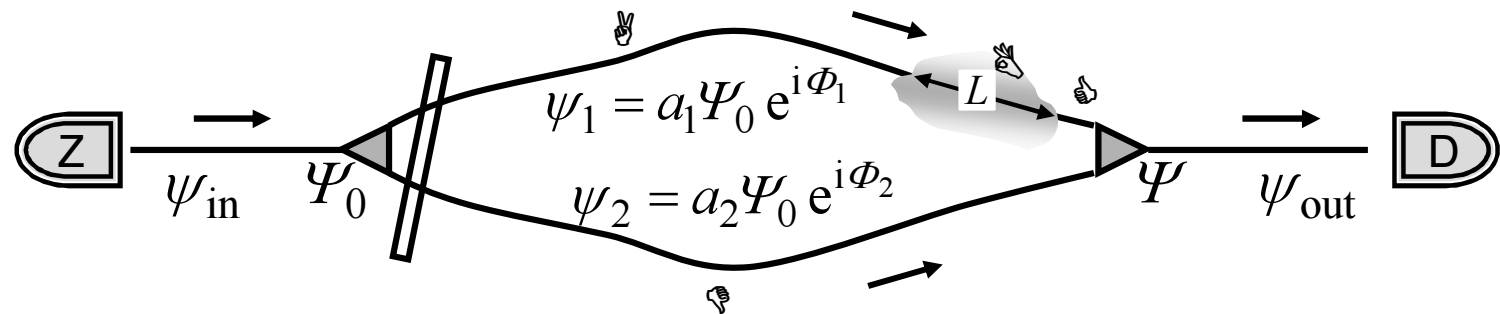
Výpočet fáze pro optický potenciál neutronů v PL

index lomu

$$n(\mathbf{r}) \approx 1 - V_{\text{OPT}}(\mathbf{r})/2E$$

$$n(\mathbf{r}) \approx 1 - \lambda_0^2 \times \bar{b} \cdot N / 2\pi$$

$$E = \frac{\hbar^2}{2m} k_0^2 = \frac{h^2}{2m} \cdot \frac{1}{\lambda_0^2}$$



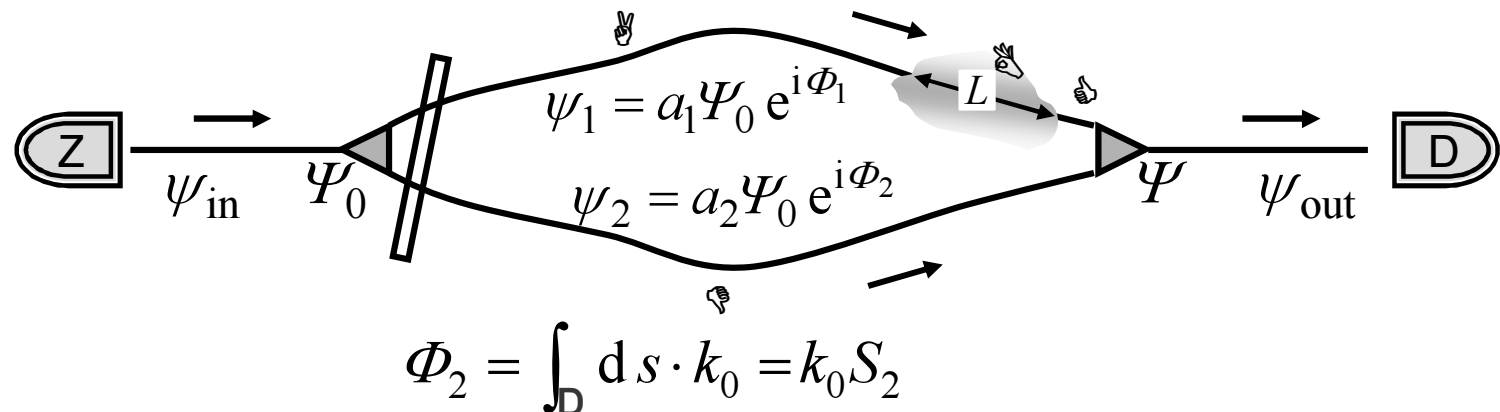
Výpočet fáze pro optický potenciál neutronů v PL

index lomu

$$n(\mathbf{r}) \approx 1 - V_{\text{OPT}}(\mathbf{r})/2E$$

$$n(\mathbf{r}) \approx 1 - \lambda_0^2 \times \bar{b} \cdot N / 2\pi$$

$$E = \frac{\hbar^2}{2m} k_0^2 = \frac{h^2}{2m} \cdot \frac{1}{\lambda_0^2}$$



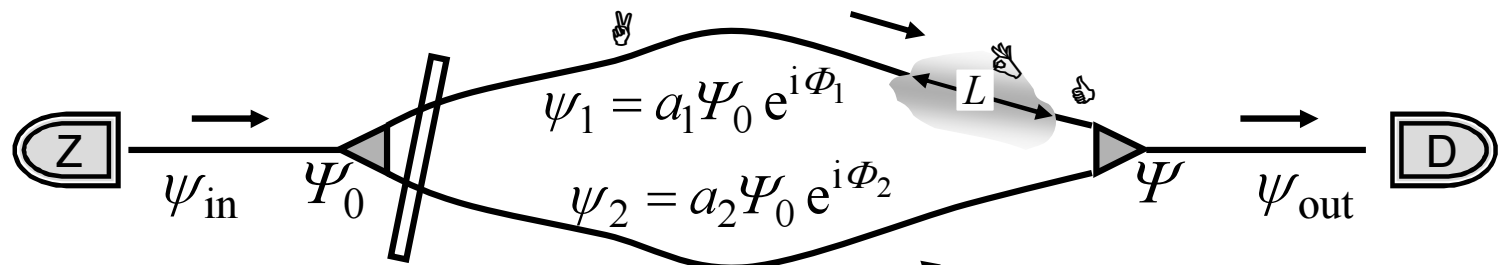
Výpočet fáze pro optický potenciál neutronů v PL

index lomu

$$n(\mathbf{r}) \approx 1 - V_{\text{OPT}}(\mathbf{r})/2E$$

$$n(\mathbf{r}) \approx 1 - \lambda_0^2 \times \bar{b} \cdot N / 2\pi$$

$$E = \frac{\hbar^2}{2m} k_0^2 = \frac{h^2}{2m} \cdot \frac{1}{\lambda_0^2}$$



$$\Phi_2 = \int_D ds \cdot k_0 = k_0 S_2$$

$$\Phi_1 = \int_A ds \cdot k_0 + \int_B ds \cdot k_0 \cdot n + \int_C ds \cdot k_0$$

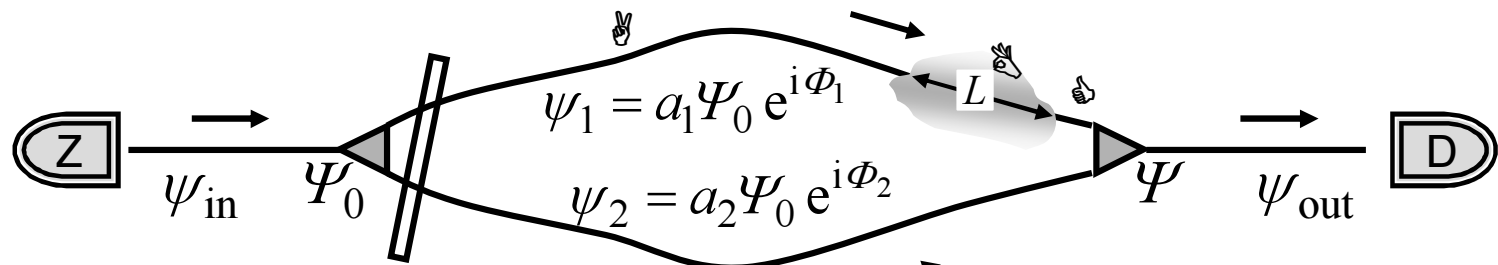
Výpočet fáze pro optický potenciál neutronů v PL

index lomu

$$n(\mathbf{r}) \approx 1 - V_{\text{OPT}}(\mathbf{r})/2E$$

$$n(\mathbf{r}) \approx 1 - \lambda_0^2 \times \bar{b} \cdot N / 2\pi$$

$$E = \frac{\hbar^2}{2m} k_0^2 = \frac{h^2}{2m} \cdot \frac{1}{\lambda_0^2}$$



$$\Phi_2 = \int_D ds \cdot k_0 = k_0 S_2$$

$$\Phi_1 = \int_A ds \cdot k_0 + \int_B ds \cdot k_0 \cdot n + \int_C ds \cdot k_0$$

$$= k_0 S_1 - k_0 \cdot \lambda_0^2 \times \bar{b} \cdot N / 2\pi \cdot L = k_0 S_1 - \lambda_0 \cdot \bar{b} \cdot L \cdot N$$

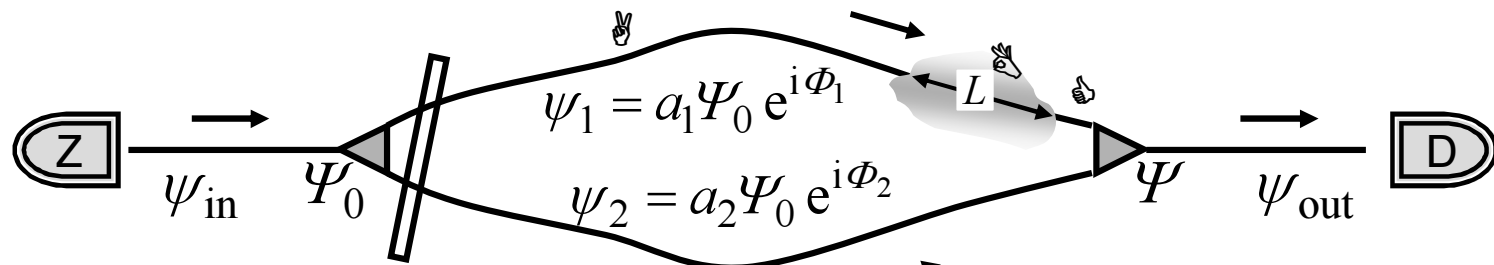
Výpočet fáze pro optický potenciál neutronů v PL

index lomu

$$n(\mathbf{r}) \approx 1 - V_{\text{OPT}}(\mathbf{r})/2E$$

$$n(\mathbf{r}) \approx 1 - \lambda_0^2 \times \bar{b} \cdot N / 2\pi$$

$$E = \frac{\hbar^2}{2m} k_0^2 = \frac{h^2}{2m} \cdot \frac{1}{\lambda_0^2}$$



$$\Phi_2 = \int_D ds \cdot k_0 = k_0 S_2$$

$$\Phi_1 = \int_A ds \cdot k_0 + \int_B ds \cdot k_0 \cdot n + \int_C ds \cdot k_0$$

$$= k_0 S_1 - k_0 \cdot \lambda_0^2 \times \bar{b} \cdot N / 2\pi \cdot L = k_0 S_1 - \lambda_0 \cdot \bar{b} \cdot L \cdot N$$

$$\Delta\Phi = \cancel{k_0(S_1 - S_2)} - \lambda_0 \bar{b} L N$$

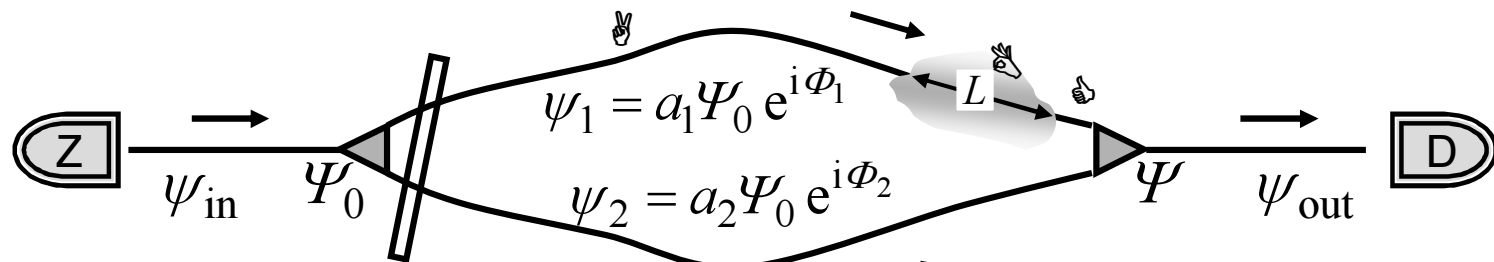
Výpočet fáze pro optický potenciál neutronů v PL

index lomu

$$n(\mathbf{r}) \approx 1 - V_{\text{OPT}}(\mathbf{r})/2E$$

$$n(\mathbf{r}) \approx 1 - \lambda_0^2 \times \bar{b} \cdot N / 2\pi$$

$$E = \frac{\hbar^2}{2m} k_0^2 = \frac{h^2}{2m} \cdot \frac{1}{\lambda_0^2}$$



$$\Phi_2 = \int_D ds \cdot k_0 = k_0 S_2$$

$$\Phi_1 = \int_A ds \cdot k_0 + \int_B ds \cdot k_0 \cdot n + \int_C ds \cdot k_0$$

$$= k_0 S_1 - k_0 \cdot \lambda_0^2 \times \bar{b} \cdot N / 2\pi \cdot L = k_0 S_1 - \lambda_0 \cdot \bar{b} \cdot L \cdot N$$

$$\Delta\Phi = \cancel{k_0(S_1 - S_2)} - \lambda_0 \bar{b} L N$$

Numerický příklad pro AI

$$\Delta\Phi = .23 \times 10^{-9} \cdot 3.5 \times 10^{-15} \cdot 1 \times 10^{-3} \cdot 60.3 \times 10^{27}$$

$$= 48.5 = 15.5\pi$$

$L = 1 \text{ mm}$ volíme

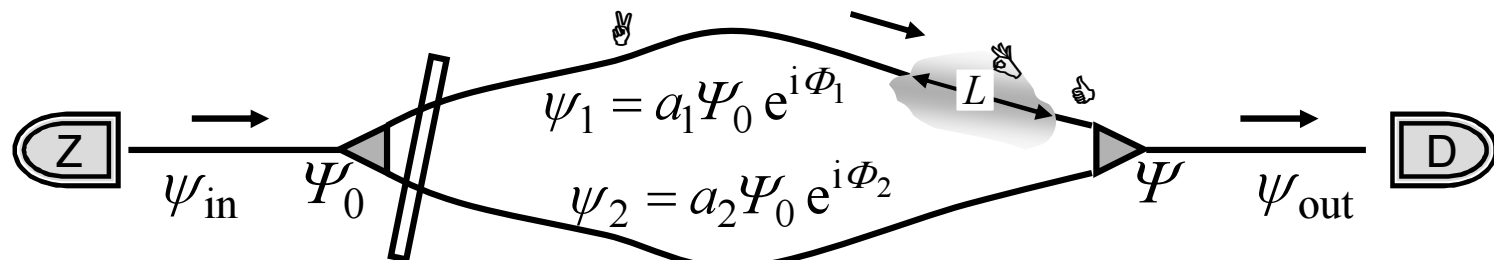
Výpočet fáze pro optický potenciál neutronů v PL

index lomu

$$n(\mathbf{r}) \approx 1 - V_{\text{OPT}}(\mathbf{r})/2E$$

$$n(\mathbf{r}) \approx 1 - \lambda_0^2 \times \bar{b} \cdot N / 2\pi$$

$$E = \frac{\hbar^2}{2m} k_0^2 = \frac{h^2}{2m} \cdot \frac{1}{\lambda_0^2}$$



$$\Phi_2 = \int_D ds \cdot k_0 = k_0 S_2$$

$$\Phi_1 = \int_A ds \cdot k_0 + \int_B ds \cdot k_0 \cdot n + \int_C ds \cdot k_0$$

$$= k_0 S_1 - k_0 \cdot \lambda_0^2 \times \bar{b} \cdot N / 2\pi \cdot L = k_0 S_1 - \lambda_0 \cdot \bar{b} \cdot L \cdot N$$

$$\Delta\Phi = k_0 (S_1 - S_2) - \lambda_0 \bar{b} L N$$

Numerický příklad pro AI

$$\Delta\Phi = .23 \times 10^{-9} \cdot 3.5 \times 10^{-15} \cdot 1 \times 10^{-3} \cdot 60.3 \times 10^{27}$$

$$= 48.5 = 15.5\pi$$

$L = 1 \text{ mm}$ volíme

II. krok

Interference reálného svazku:
Čisté a smíšené stavy v kvantové fyzice

Intensita na výstupu interferometru II: stacionární smíšený stav

Dopadající svazek není monochromatická vlna.

Můžeme si představit nekoherentní směs vln o různých energiích: **Smíšený stav**

Intensity od jednotlivých vln ve směsi se sčítají: vlny nejsou navzájem koherentní.

Záleží na tom, jak rozdíl fází $\Delta\Phi$ závisí na energii vlny nebo lépe na vlnovém vektoru:

$$I = I_0 \int dk w(k) \cdot (1 + V \cdot \cos \Delta\Phi(k)), \quad \int dk w(k) = 1$$



Intensita na výstupu interferometru II: stacionární smíšený stav

Dopadající svazek není monochromatická vlna.

Můžeme si představit nekoherentní směs vln o různých energiích: **Smíšený stav**

Intensity od jednotlivých vln ve směsi se sčítají: vlny nejsou navzájem koherentní.

Záleží na tom, jak rozdíl fází $\Delta\Phi$ závisí na energii vlny nebo lépe na vlnovém vektoru:

$$I = I_0 \int dk w(k) \cdot (1 + V \cdot \cos \Delta\Phi(k)), \quad \int dk w(k) = 1$$

EXPERIMENTÁLNÍ POHLED

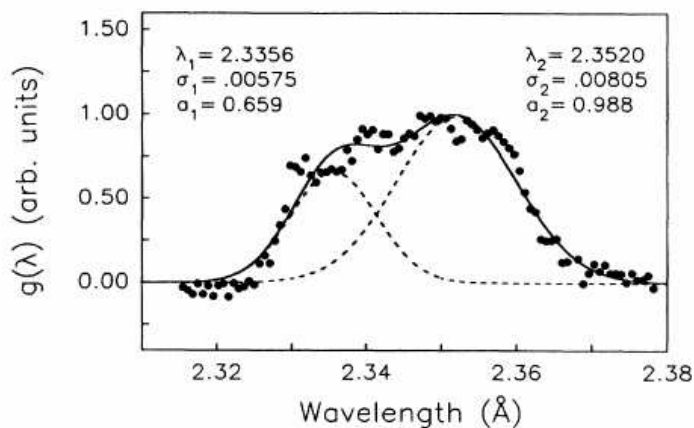


FIG. 3. Measured wavelength spectrum $g(\lambda)$ for the phase-echo experiment, and the double-Gaussian fit to it.

REÁLNÝ PŘÍKLAD

Dvojitý gaussovský profil

$$w(k) = 2\pi g(2\pi/k) \cdot k^{-2}$$

$$\frac{\delta k}{k} = \frac{\delta\lambda}{\lambda} \approx \frac{0.02}{2.34} \square 0.01$$

Intensita na výstupu interferometru II: stacionární smíšený stav

Dopadající svazek není monochromatická vlna.

Můžeme si představit nekoherentní směs vln o různých energiích: **Smíšený stav**

Intensity od jednotlivých vln ve směsi se sčítají: vlny nejsou navzájem koherentní.

Záleží na tom, jak rozdíl fází $\Delta\Phi$ závisí na energii vlny nebo lépe na vlnovém vektoru:

$$I = I_0 \int dk w(k) \cdot (1 + V \cdot \cos \Delta\Phi(k)), \quad \int dk w(k) = 1$$

POHLED ZÁKLADNÍ: STAVY KVANTOVÉ TEORIE

stav	čistý	smíšený
struktura	$ \ell\rangle$	$\{ \ell\rangle; w_\ell\}, \quad \sum w_\ell = 1$
střední hodnoty	$\langle A \rangle = \langle \ell A \ell \rangle$	$\langle A \rangle = \sum w_\ell \langle \ell A \ell \rangle$

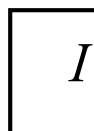
Intensita na výstupu interferometru II: stacionární smíšený stav

Dopadající svazek není monochromatická vlna.

Můžeme si představit, že je všechno složeno z vln o různých frekvencích a amplitudách.

Intensity od

Záleží na tom,



Limitní případ:

$$w_\ell = \delta_{\ell\tilde{\ell}}$$

znamená: vlny

energií vln

$$\Phi(k)),$$

Dvojí středování:

vnitřní kvantově mech.
vnější vážený průměr
po směsi stavů
oslabuje koherenci

STAVY KVAZI

stav	čistý	smíšený
struktura	$ \ell\rangle$	$\{ \ell\rangle; w_\ell\}, \sum_\ell w_\ell = 1$
střední hodnoty	$\langle A \rangle = \langle \ell A \ell \rangle$	$\langle A \rangle = \sum_\ell w_\ell \langle \ell A \ell \rangle$

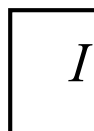
Intensita na výstupu interferometru II: stacionární smíšený stav

Dopadající svazek není monochromatická vlna.

Můžeme si představit, že je všechno složeno z vln o různých frekvencích a amplitudách.

Intensity od

Záleží na tom,



Limitní případ:

$$w_\ell = \delta_{\ell\tilde{\ell}}$$

čítají: vlny s různou
energií vlny

$$\Phi(k)),$$

Dvojí středování:
vnitřní kvantově mech.
vnější vážený průměr
po směsi stavů
oslabuje koherenci

STAVY Kvantové

stav	čistý	smíšený
struktura	$ \ell\rangle$	$\{ \ell\rangle; w_\ell\}, \sum_\ell w_\ell = 1$
střední hodnoty	$\langle A \rangle = \langle \ell A \ell \rangle$	$\langle A \rangle = \sum_\ell w_\ell \langle \ell A \ell \rangle$

Dirac, von Neumann matice hustoty

Intensita na výstupu interferometru II: stacionární smíšený stav

Dopadající svazek není monochromatická vlna.

Můžeme si představit nekoherentní směs vln o různých energiích: **Smíšený stav**

Intensity od jednotlivých vln ve směsi se sčítají: vlny nejsou navzájem koherentní.

Záleží na tom, jak rozdíl fází $\Delta\Phi$ závisí na energii vlny nebo lépe na vlnovém vektoru:

$$I = I_0 \int dk w(k) \cdot (1 + V \cdot \cos \Delta\Phi(k)), \quad \int dk w(k) = 1$$

$$I = I_0 \int dk w(k) \cdot (1 + V \cdot \operatorname{Re}(e^{i\Delta\Phi(k)}))$$

ekvivalentní, ale velmi produktivní přepis

Intensita na výstupu interferometru II: stacionární smíšený stav

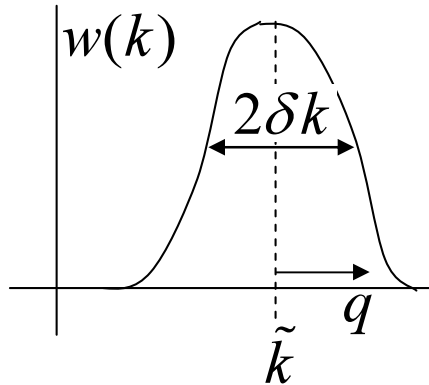
Dopadající svazek není monochromatická vlna.

Můžeme si představit nekoherentní směs vln o různých energiích: **Smíšený stav**

Intensity od jednotlivých vln ve směsi se sčítají: vlny nejsou navzájem koherentní.

Záleží na tom, jak rozdíl fází $\Delta\Phi$ závisí na energii vlny nebo lépe na vlnovém vektoru:

$$I = I_0 \int dk w(k) \cdot (1 + V \cdot \cos \Delta\Phi(k)), \quad \int dk w(k) = 1$$



$$I = I_0 \int dk w(k) \cdot (1 + V \operatorname{Re}(e^{i\Delta\Phi(k)}))$$

Pro úzké rozdělení

$$\int dk w(k) \cdot e^{i\Delta\Phi(k)} = \int dq w(\tilde{k} + q) \cdot e^{i(\Delta\Phi(\tilde{k}) + \frac{d}{dk}\Delta\Phi(\tilde{k}) \cdot q)}$$

$$I = I_0 \left(1 + V \operatorname{Re} \left(e^{i\Delta\Phi(\tilde{k})} \underbrace{\int dq w(\tilde{k} + q) \cdot e^{i\frac{d}{dk}\Delta\Phi(\tilde{k}) \cdot q}}_{W(\frac{d}{dk}\Delta\Phi(\tilde{k}))} \right) \right)$$

Intensita na výstupu interferometru II: stacionární smíšený stav

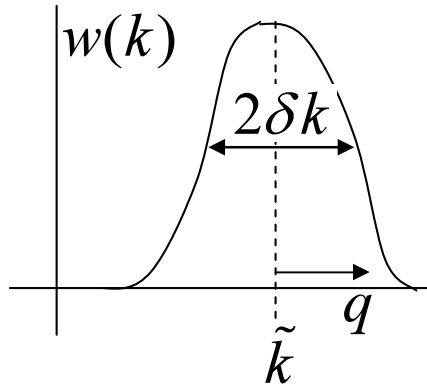
Dopadající svazek není monochromatická vlna.

Můžeme si představit nekoherentní směs vln o různých energiích: **Smíšený stav**

Intensity od jednotlivých vln ve směsi se sčítají: vlny nejsou navzájem koherentní.

Záleží na tom, jak rozdíl fází $\Delta\Phi$ závisí na energii vlny nebo lépe na vlnovém vektoru:

$$I = I_0 \int dk w(k) \cdot (1 + V \cdot \cos \Delta\Phi(k)), \quad \int dk w(k) = 1$$



$$I = I_0 \left(1 + V \operatorname{Re} \left(e^{i\Delta\Phi(\tilde{k})} \underbrace{\int dq w(\tilde{k} + q) \cdot e^{\frac{i}{dk} \Delta\Phi(\tilde{k}) \cdot q}}_{W(\frac{d}{dk} \Delta\Phi(\tilde{k}))} \right) \right)$$

Čistý stav jako limita (ve spojitém spektru)

$$w(k) \rightarrow \delta(k - \tilde{k}) \Rightarrow w(\tilde{k} + q) \rightarrow \delta(q), W(x) \rightarrow 1$$

$$I \rightarrow I_0 \left(1 + V \operatorname{Re} \left(e^{i\Delta\Phi(\tilde{k})} \right) \right)$$

Intensita na výstupu interferometru II: Gaussovo rozdělení

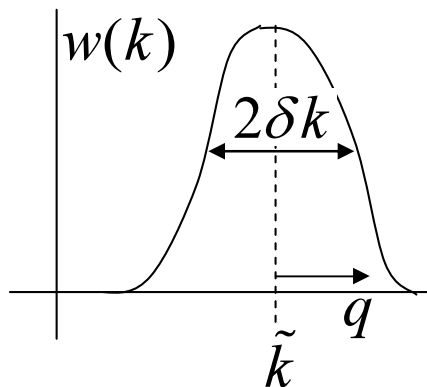
Dopadající svazek není monochromatická vlna.

Můžeme si představit nekoherentní směs vln o různých energiích: **Smíšený stav**

Intensity od jednotlivých vln ve směsi se sčítají: vlny nejsou navzájem koherentní.

Záleží na tom, jak rozdíl fází $\Delta\Phi$ závisí na energii vlny nebo lépe na vlnovém vektoru:

$$I = I_0 \int dk w(k) \cdot (1 + V \cdot \cos \Delta\Phi(k)), \quad \int dk w(k) = 1$$



$$I = I_0 \left(1 + V \operatorname{Re} \left(e^{i \Delta\Phi(\tilde{k})} \underbrace{\int dq w(\tilde{k} + q) \cdot e^{i \frac{d}{dk} \Delta\Phi(\tilde{k}) \cdot q}}_{W(\frac{d}{dk} \Delta\Phi(\tilde{k}))} \right) \right)$$

Gaussovo rozdělení

$$w(\tilde{k} + q) = \frac{1}{\sqrt{2\pi}\delta k} e^{-\frac{1}{2}\left(\frac{q}{\delta k}\right)^2}, \quad W(x) = e^{-\frac{1}{2}\left(\frac{x}{\delta s}\right)^2}$$

$$I = I_0 \left(1 + V \cos \Delta\Phi(\tilde{k}) \cdot e^{-\frac{1}{2}\left(\frac{d}{dk} \Delta\Phi(\tilde{k})/\delta s\right)^2} \right)$$

$$\delta s = \frac{1}{\delta k}$$

Intensita na výstupu interferometru II: Gaussovo rozdělení

$$I = I_0 \left(1 + V \cos \Delta\Phi(\tilde{k}) \cdot e^{-\frac{1}{2} \left(\frac{d}{dk} \Delta\Phi(\tilde{k}) / \delta s \right)^2} \right)$$

$$\delta s = \frac{1}{\delta k}$$

$$\Delta\Phi(\tilde{k}) = -\tilde{k} \int d\mathbf{s} \cdot \mathbf{V}(\mathbf{r}(s)) / 2\tilde{E} = -\frac{1}{\tilde{k}} \cdot \frac{m}{\hbar^2} \int d\mathbf{s} \cdot \mathbf{V}(\mathbf{r}(s))$$

$$\frac{d}{dk} \Delta\Phi(\tilde{k}) = +\frac{1}{\tilde{k}^2} \cdot \frac{m}{\hbar^2} \int d\mathbf{s} \cdot \mathbf{V}(\mathbf{r}(s)) = -\frac{1}{\tilde{k}} \cdot \Delta\Phi(\tilde{k})$$

Konečný výraz pro intenzitu na výstupu

závisí na dvou parametrech svazku

$$I = I_0 \left(1 + V \cos \Delta\Phi(\tilde{k}) \cdot e^{-\frac{1}{2} \left(\Delta\Phi(\tilde{k}) \frac{\delta \tilde{k}}{\tilde{k}} \right)^2} \right)$$

Intensita na výstupu interferometru II: Gaussovo rozdělení

$$I = I_0 \left(1 + V \cos \Delta\Phi(\tilde{k}) \cdot e^{-\frac{1}{2} \left(\frac{d}{dk} \Delta\Phi(\tilde{k}) / \delta s \right)^2} \right)$$

$$\delta s = \frac{1}{\delta k}$$

$$\Delta\Phi(\tilde{k}) = -\tilde{k} \int ds \cdot V(\mathbf{r}(s)) / 2\tilde{E} = -\frac{1}{\tilde{k}} \cdot \frac{m}{\hbar^2} \int ds \cdot V(\mathbf{r}(s))$$

$$\frac{d}{dk} \Delta\Phi(\tilde{k}) = +\frac{1}{\tilde{k}^2} \cdot \frac{m}{\hbar^2} \int ds \cdot V(\mathbf{r}(s)) = -\frac{1}{\tilde{k}} \cdot \Delta\Phi(\tilde{k})$$

Konečný výraz pro intenzitu na výstupu

závisí na dvou parametrech svazku

$$I = I_0 \left(1 + V \cos \Delta\Phi(\tilde{k}) \cdot e^{-\frac{1}{2} \left(\Delta\Phi(\tilde{k}) \frac{\delta \tilde{k}}{\tilde{k}} \right)^2} \right)$$

a jediné fázové proměnné

Intensita na výstupu interferometru II: Gaussovo rozdělení

$$I = I_0 \left(1 + V \cos \Delta\Phi(\tilde{k}) \cdot e^{-\frac{1}{2} \left(\Delta\Phi(\tilde{k}) \frac{\delta \tilde{k}}{\tilde{k}} \right)^2} \right)$$

EXPLICITNÍ VÝRAZY (nám již známé)

I. PRO POHYB V GRAVITAČNÍM POLI ZEMĚ

$$\Delta\Phi = LH \sin \varphi \times g \frac{m^2}{\hbar^2} \times k^{-1}$$

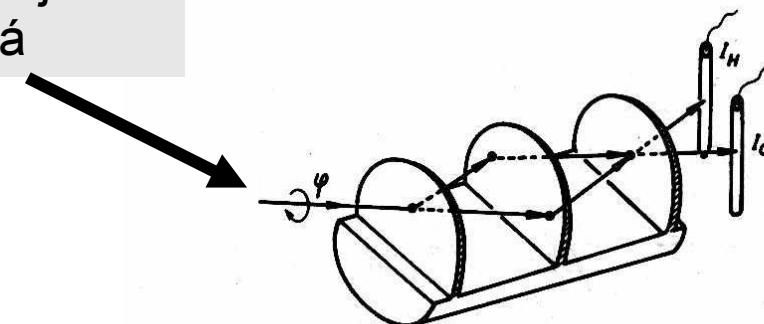
II. PRO OPTICKÝ POTENCIÁL V LÁTCE

$$\Delta\Phi = -\lambda_0 \bar{b} LN = -2\pi \bar{b} LN \times k^{-1}$$

... vrátíme se k interpretaci COW experimentu
v neutronové gravimetrii

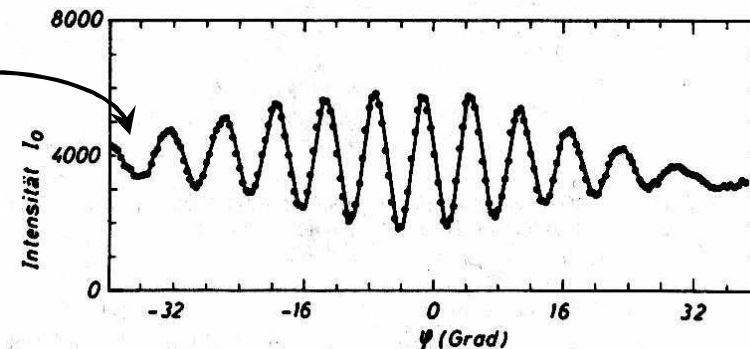
B7 Interferenční gravimetrie: jeden z prvních výsledků

osa natáčení je
vodorovná



② kontrast brzo vymizí:
to neumíme vysvětlit jen
počítáním fázových
posuvů.

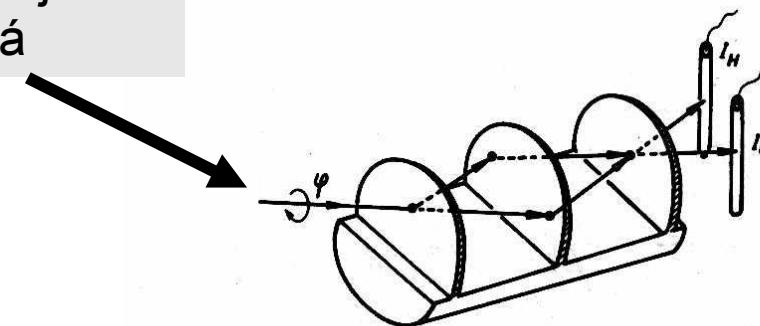
Příště úplnější teorie



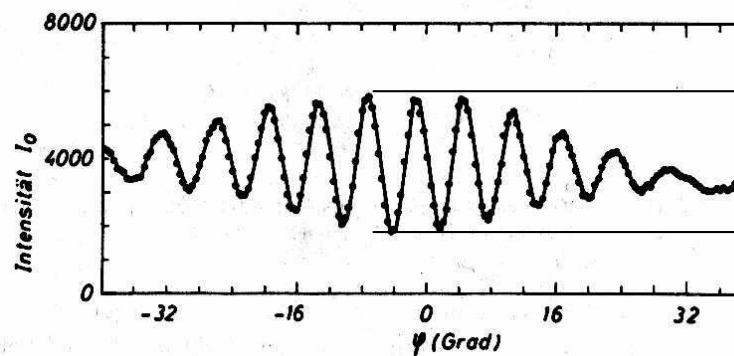
COW experiment ... Collela, Overhauser, Werner

B7 Interferenční gravimetrie: jeden z prvních výsledků

osa natáčení je
vodorovná



FIT 1.



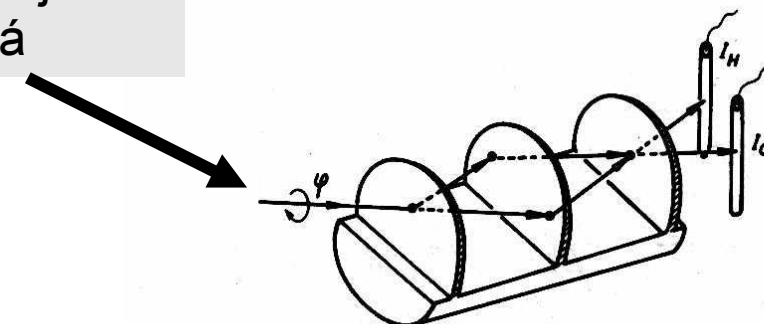
$$I_{\max} \square 6000$$
$$I_{\min} \square 2000$$

COW experiment ... Collela, Overhauser, W

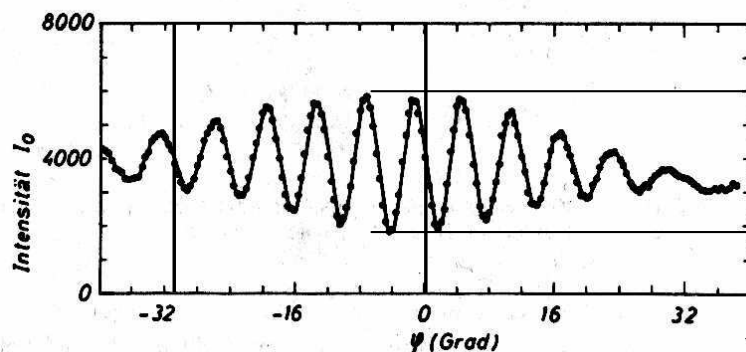
$$V = \frac{I_{\max} - I_{\min}}{I_{\max} + I_{\min}} = 0.5$$

B7 Interferenční gravimetrie: jeden z prvních výsledků

osa natáčení je
vodorovná



FIT 1.



$$I_{\max} \square 6000$$
$$I_{\min} \square 2000$$

FIT II.

$$\Delta\Phi(-31,5^\circ) = C \sin(-31,5^\circ) \square 10\pi$$

$$C \square 59.3$$

mauser, W

$$V = \frac{I_{\max} - I_{\min}}{I_{\max} + I_{\min}} = 0.5$$

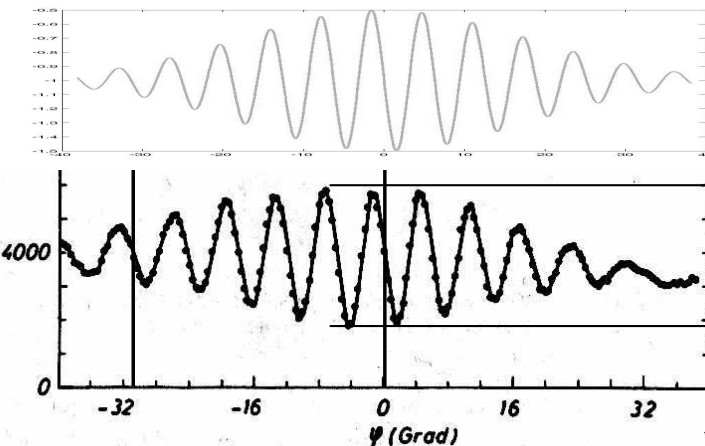
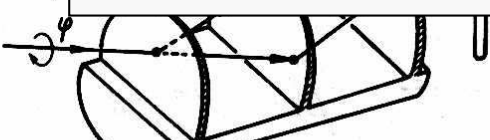
B7 Interferenční gravimetrie: jeden z prvních výsledků

FIT III.

metodou "trial and error"

osa natáčení je
vodorovná

$$\frac{\delta k}{k} = 0.041$$



FIT II.

$$\Delta\Phi(-31,5^\circ) = C \sin(-31,5^\circ) \square 10\pi$$

$$C \square 59.3$$

mauser, W

$$V = \frac{I_{\max} - I_{\min}}{I_{\max} + I_{\min}} = 0.5$$

FIT 1.

$$I_{\max} \square 6000$$

$$I_{\min} \square 2000$$

III. krok

Nestacionární popis interferometru:
Průlet vlnových klubek

Interference vlnových klubek: samotné klubko

Popis svazku pomocí klubek je vlastně propoj mezi částicemi v reaktoru a vlnami v interferometru. Klubko se hodí tak nějak do obojích míst.

TŘI KROKY (1D klubka)

krok 1. stojící klubko

$$\varphi(x) = \int_{-\infty}^{\infty} \frac{dk}{2\pi} \cdot a(k) \cdot e^{ikx}$$

krok 2. klubko s nenulovou hybností

$$\psi(x) = \varphi(x) e^{ik_0 x} = \int_{-\infty}^{\infty} \frac{dk}{2\pi} \cdot a(k) \cdot e^{i(k+k_0)x} = \int_{-\infty}^{\infty} \frac{dk}{2\pi} \cdot \underbrace{a(k-k_0)}_{c(k)} \cdot e^{ikx}$$

krok 3. klubko uvedeme do pohybu

$$\Psi(x, t) = \int_{-\infty}^{\infty} \frac{dk}{2\pi} \cdot c(k) \cdot e^{i(kx - \omega(k)t)}$$

Toto platí pro každou volbu počáteční vlnové funkce.

Co je "klubko"? Má omezený rozsah v k -prostoru

Interference vlnových klubek: samotné klubky

Pak můžeme provést běžnou klubkovou transformaci

$$\begin{aligned}\Psi(x,t) &= \int \frac{dk}{2\pi} \cdot c(k) \cdot e^{i(kx - \omega(k)t)} \\ &= \int \frac{dq}{2\pi} \cdot c(k_0 + q) \cdot e^{i((k_0 + q)x - \omega(k_0 + q)t)} \\ &= e^{i(k_0 x - \omega(k_0)t)} \int \frac{dq}{2\pi} \cdot a(q) \cdot e^{i(q(x - v_0 t) - \cancel{\omega(q)t})} \text{ zanedbáme rozplývání} \\ &\approx e^{i(k_0 x - \omega(k_0)t)} \int \frac{dq}{2\pi} \cdot a(q) \cdot e^{iq(x - v_0 t)}\end{aligned}$$

$$\omega(k) = \varepsilon(\hbar k)/\hbar = \frac{\hbar}{2m} \cdot k^2$$

$$\Psi(x,t) = e^{i(k_0 x - \omega(k_0)t)} \times \varphi(x - v_0 t)$$

Interference vlnových klobuků: zpožděné klobuko ve vnějším potenciálu

Známe $\Delta\Phi(k)$; \mathbf{k} snadno přepočteme na energii pomocí

$$\Psi_1(x, t) = e^{i(k_0 x - \omega(k_0)t)} \times \varphi(x - v_0 t)$$

$$\omega(k) = \varepsilon(\hbar k)/\hbar = \frac{\hbar}{2m} \cdot k^2$$

$$\Psi_2(x, t) = \int \frac{dk}{2\pi} \cdot c(k) \cdot e^{i(kx + \Delta\Phi(k) - \omega(k)t)}$$

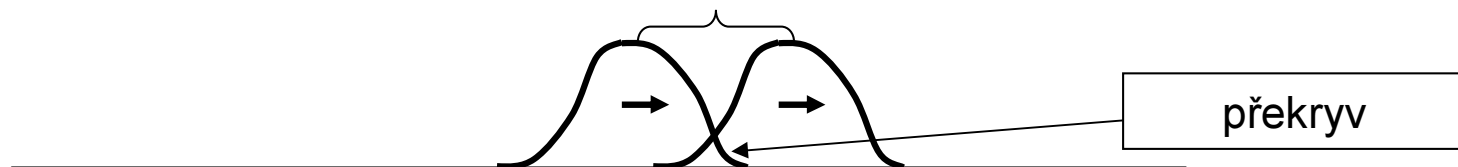
$$= \int \frac{dq}{2\pi} \cdot c(k_0 + q) \cdot e^{i((k_0 + q)x + \Delta\Phi(k_0 + q) - \omega(k_0 + q)t)}$$

$$\approx e^{i(k_0 x + \Delta\Phi(k_0) - \omega(k_0)t)} \int \frac{dq}{2\pi} \cdot a(q) \cdot e^{iq(x + \frac{d}{dk} \Delta\Phi(k_0) - v_0 t)}$$

$$\Psi_2(x, t) = e^{i(k_0 x + \Delta\Phi(k_0) - \omega(k_0)t)} \times \varphi(x + \frac{d}{dk} \Delta\Phi(k_0) - v_0 t)$$



DRÁHOVÝ POSUN



Interference vlnových klobuků: zpožděné kloboko ve vnějším potenciálu

Známe $\Delta\Phi(k)$; \mathbf{k} snadno přepočteme na energii pomocí

$$\Psi_1(x, t) = e^{i(k_0 x - \omega(k_0)t)} \times \varphi(x - v_0 t)$$

$$\omega(k) = \varepsilon(\hbar k)/\hbar = \frac{\hbar}{2m} \cdot k^2$$

$$\Psi_2(x, t) = \int \frac{dk}{2\pi} \cdot c(k) \cdot e^{i(kx + \Delta\Phi(k) - \omega(k)t)}$$

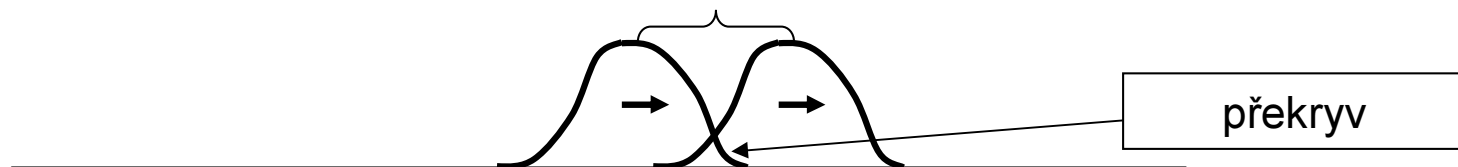
$$= \int \frac{dq}{2\pi} \cdot c(k_0 + q) \cdot e^{i((k_0 + q)x + \Delta\Phi(k_0 + q) - \omega(k_0 + q)t)}$$

$$\approx e^{i(k_0 x + \Delta\Phi(k_0) - \omega(k_0)t)} \int \frac{dq}{2\pi} \cdot a(q) \cdot e^{iq(x + \frac{d}{dk} \Delta\Phi(k_0) - v_0 t)}$$

$$\Psi_2(x, t) = e^{i(k_0 x + \Delta\Phi(k_0) - \omega(k_0)t)} \times \varphi(x + \frac{d}{dk} \Delta\Phi(k_0) - v_0 t)$$



DRÁHOVÝ POSUN

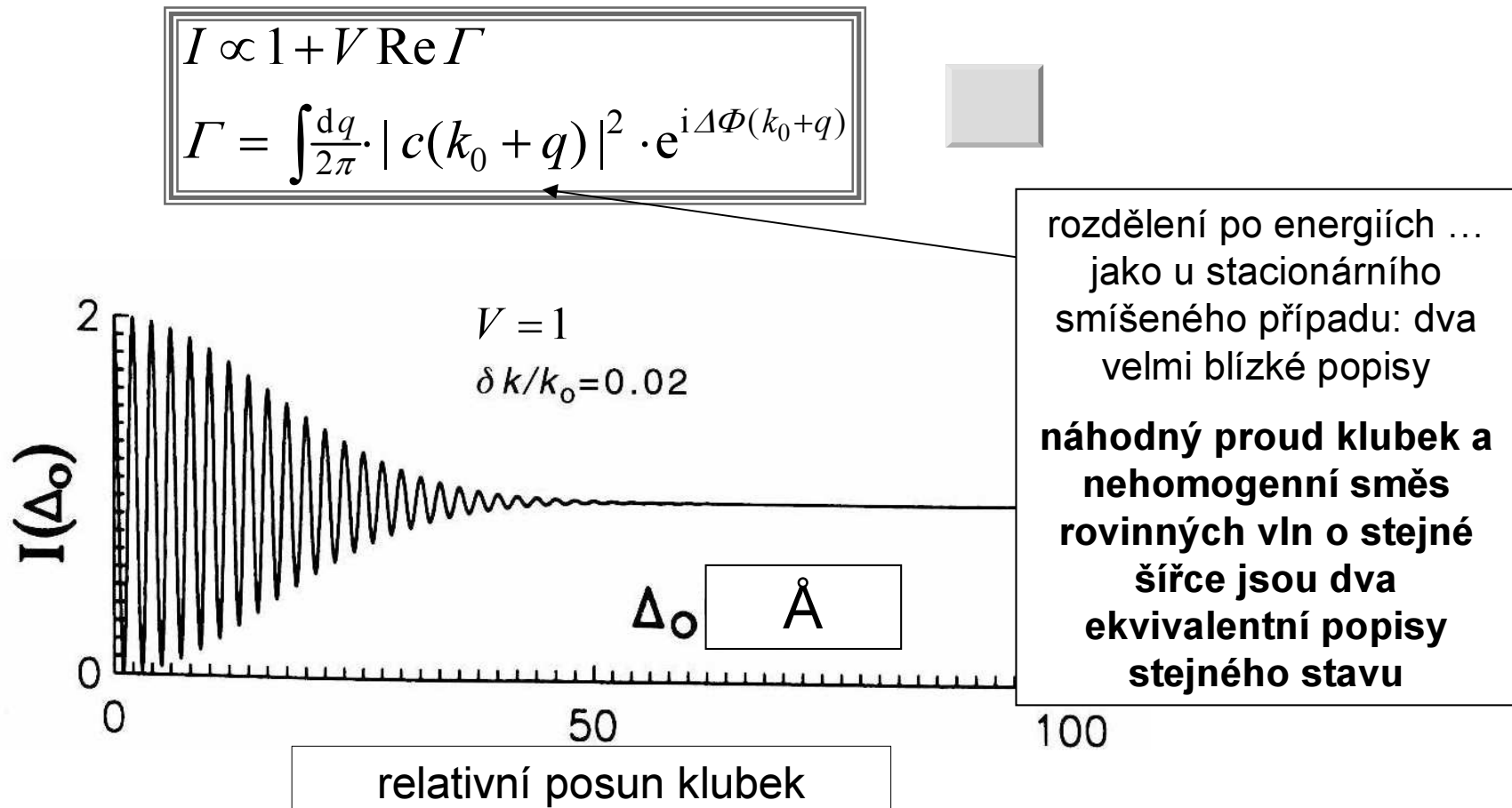


Interference vlnových klubek: výpočet intenzity

Časově závislá intenzita

$$I(t) = |\Psi_1(t) + \Psi_2(t)|^2 = |\Psi_1(t)|^2 + |\Psi_2(t)|^2 + 2 \operatorname{Re} \Psi_1^*(t) \Psi_2(t)$$

Po vystředování po časech (to odpovídá pozorování)



Interference vlnových klubek: výpočet intenzity

Časově závislá intensita

$$I(t) = |\Psi_1(t) + \Psi_2(t)|^2 = |\Psi_1(t)|^2 + |\Psi_2(t)|^2 + 2 \operatorname{Re} \Psi_1^*(t) \Psi_2(t)$$

Po vystředování po časech (to odpovídá pozorování)

$$I \propto 1 + V \operatorname{Re} \Gamma$$

$$\Gamma = \int \frac{dq}{2\pi} \cdot |c(k_0 + q)|^2 \cdot e^{i\Delta\Phi(k_0 + q)}$$



rozdělení po energiích ...
jako u stacionárního
smíšeného případu: dva
velmi blízké popisy

**náhodný proud klubek a
nehomogenní směs
rovinných vln o stejně
šířce jsou dva
ekvivalentní popisy
stejného stavu**

Interference vlnových klubek: výpočet intenzity

Časově závislá intensita

$$I(t) = |\Psi_1(t) + \Psi_2(t)|^2 = |\Psi_1(t)|^2 + |\Psi_2(t)|^2 + 2 \operatorname{Re} \Psi_1^*(t) \Psi_2(t)$$

Po vystředování po časech (to odpovídá pozorování)

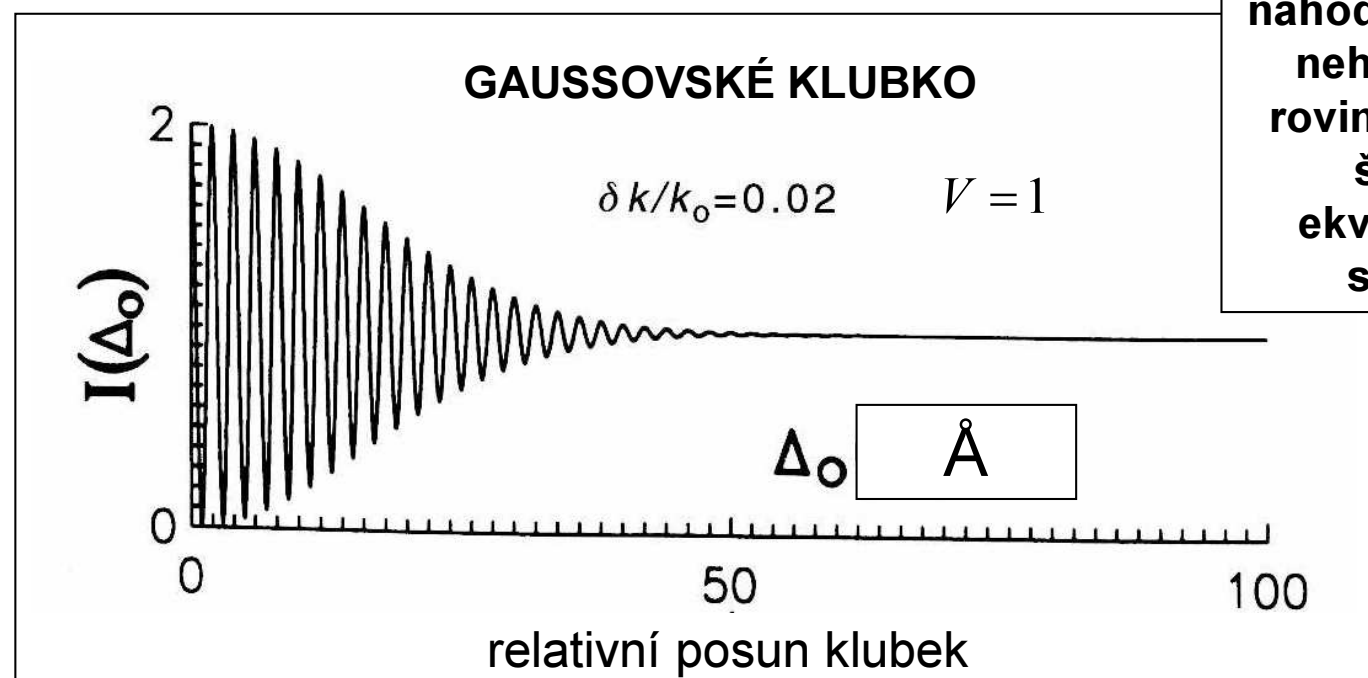
$$I \propto 1 + V \operatorname{Re} \Gamma$$

$$\Gamma = \int \frac{dq}{2\pi} \cdot |c(k_0 + q)|^2 \cdot e^{i\Delta\Phi(k_0 + q)}$$



rozdělení po energiích ...
jako u stacionárního
smíšeného případu: dva
velmi blízké popisy

**náhodný proud klubek a
nehomogenní směs
rovinných vln o stejně
šířce jsou dva
ekvivalentní popisy
stejného stavu**



Interference vlnových klubek: výpočet intenzity

Časově závislá intenzita

$$I(t) = |\Psi_1(t) + \Psi_2(t)|^2 = |\Psi_1(t)|^2 + |\Psi_2(t)|^2 + 2 \operatorname{Re} \Psi_1^*(t) \Psi_2(t)$$

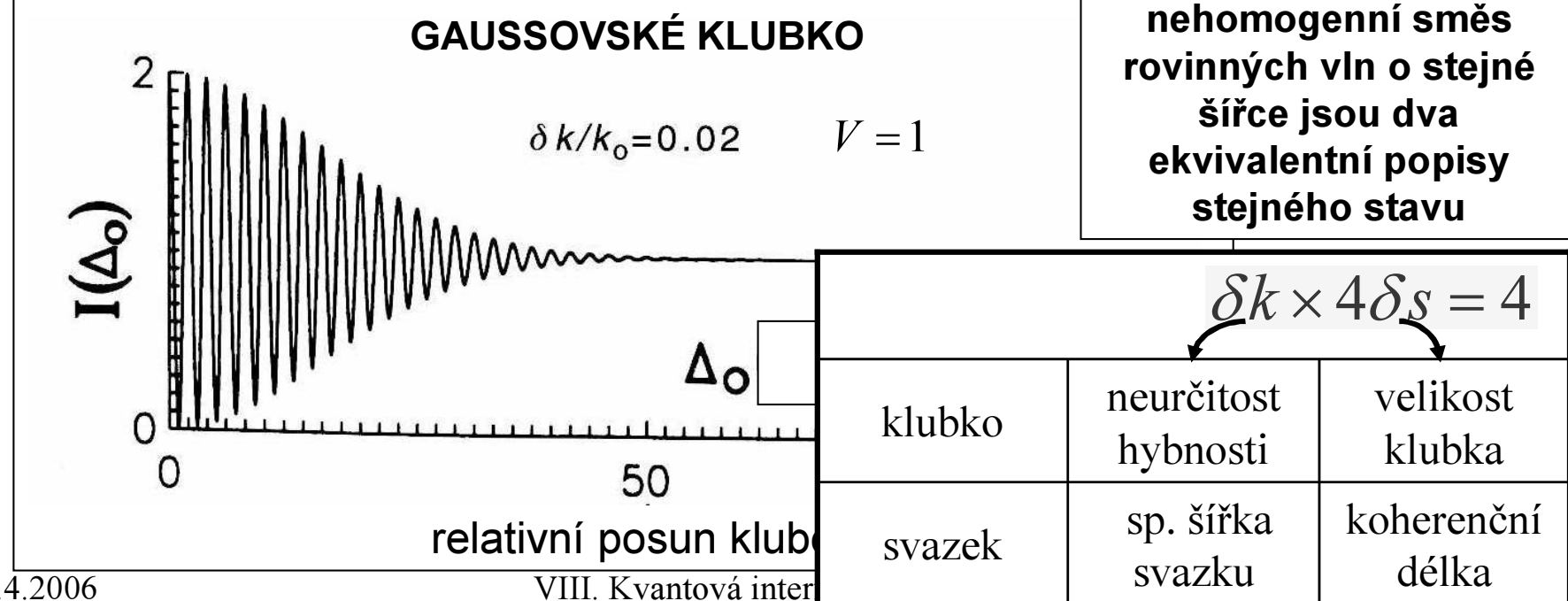
Po vystředování po časech (to odpovídá pozorování)

$$I \propto 1 + V \operatorname{Re} \Gamma$$

$$\Gamma = \int \frac{dq}{2\pi} \cdot |c(k_0 + q)|^2 \cdot e^{i\Delta\Phi(k_0 + q)}$$

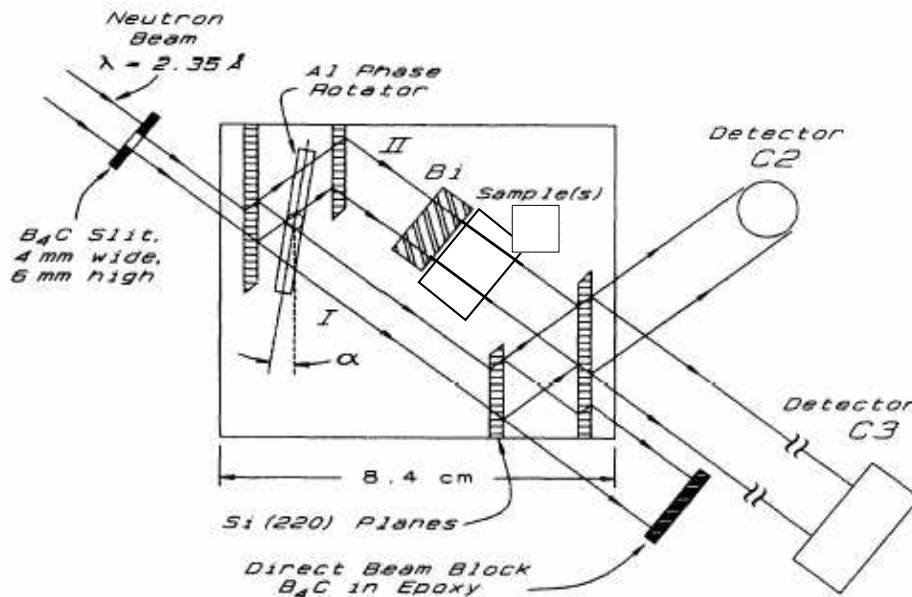
rozdělení po energiích ...
jako u stacionárního
smíšeného případu: dva
velmi blízké popisy

**náhodný proud klubek a
nehomogenní směs
rovinných vln o stejně
šířce jsou dva
ekvivalentní popisy
stejného stavu**



ukázka 1.
„fázové echo“ v neutronové interferometrii

Fázové echo v neutronové interferometrii



ZÁKLADNÍ IDEA

do jedné cesty vložili blok Bi tak tlustý, že interference prakticky vymizela

pak za něj vsunuli blok Ti. Ten má zápornou rozptylovou délku b , protože je magnetický atd. Proto zase to dráhové zpoždění vykompensoval

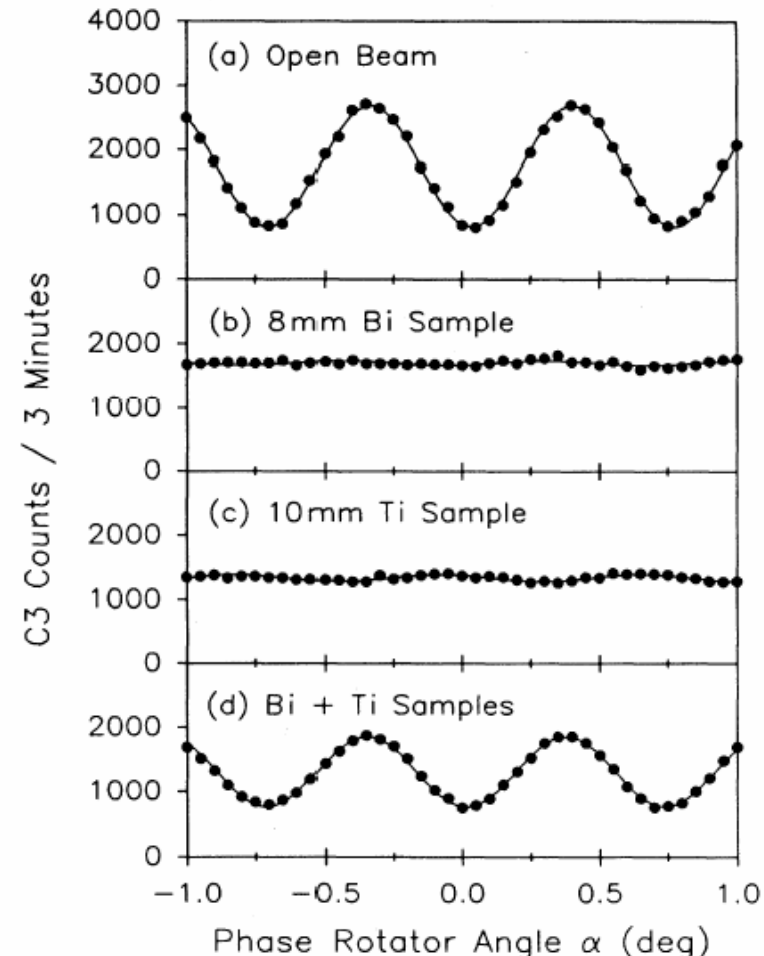
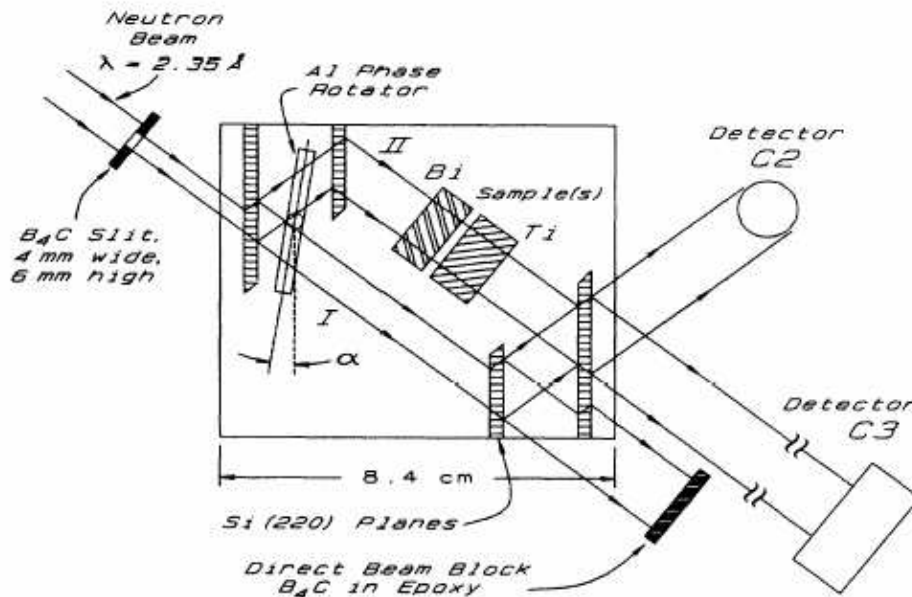


FIG. 4. A typical set of phase-echo interferograms, with (a) no sample, (b) with 8-mm Bi sample 2, (c) 10-mm Ti sample 2, and (d) both Bi 2 and Ti 2 in the beam.

Fázové echo v neutronové interferometrii



ZÁKLADNÍ IDEA

do jedné cesty vložili blok Bi tak tlustý, že interference prakticky vymizela

pak za něj vsunuli blok Ti.
Ten má zápornou rozptylovou délku b , protože je magnetický atd. Proto zase to dráhové zpoždění vykompensoval

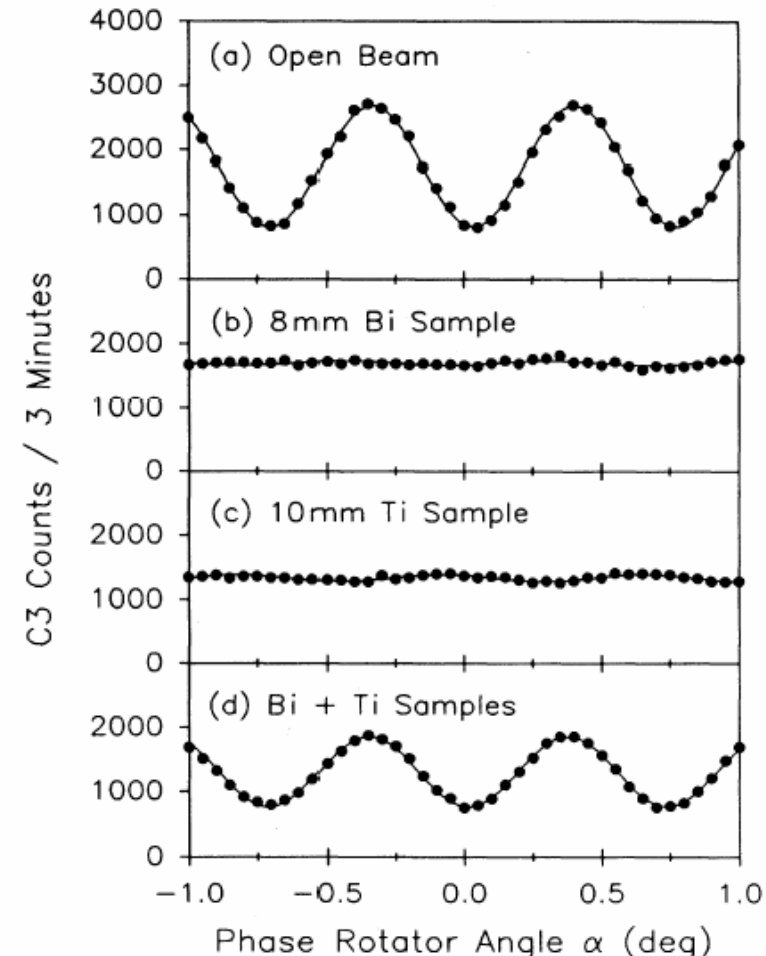
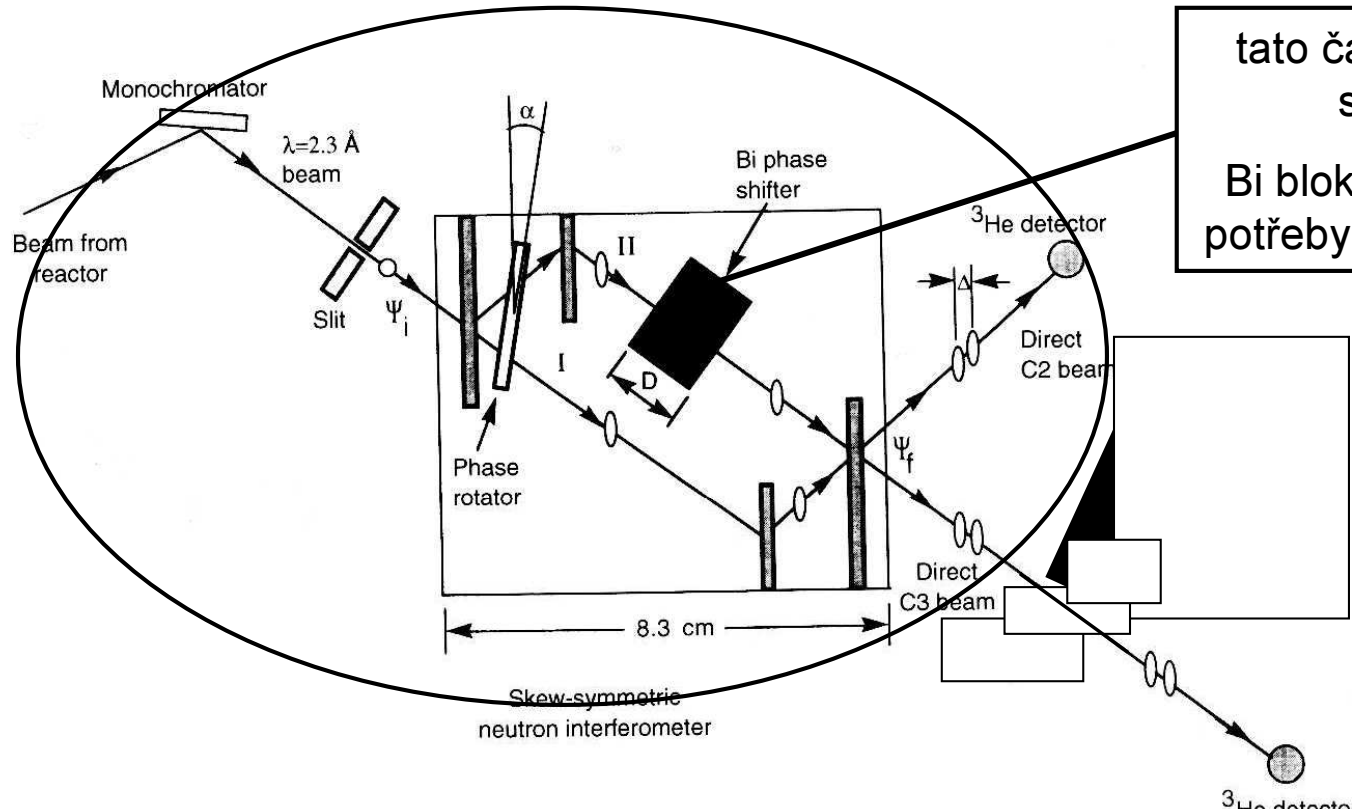


FIG. 4. A typical set of phase-echo interferograms, with (a) no sample, (b) with 8-mm Bi sample 2, (c) 10-mm Ti sample 2, and (d) both Bi 2 and Ti 2 in the beam.

ukázka 2.
obnovení koherence dodatečnou filtrace

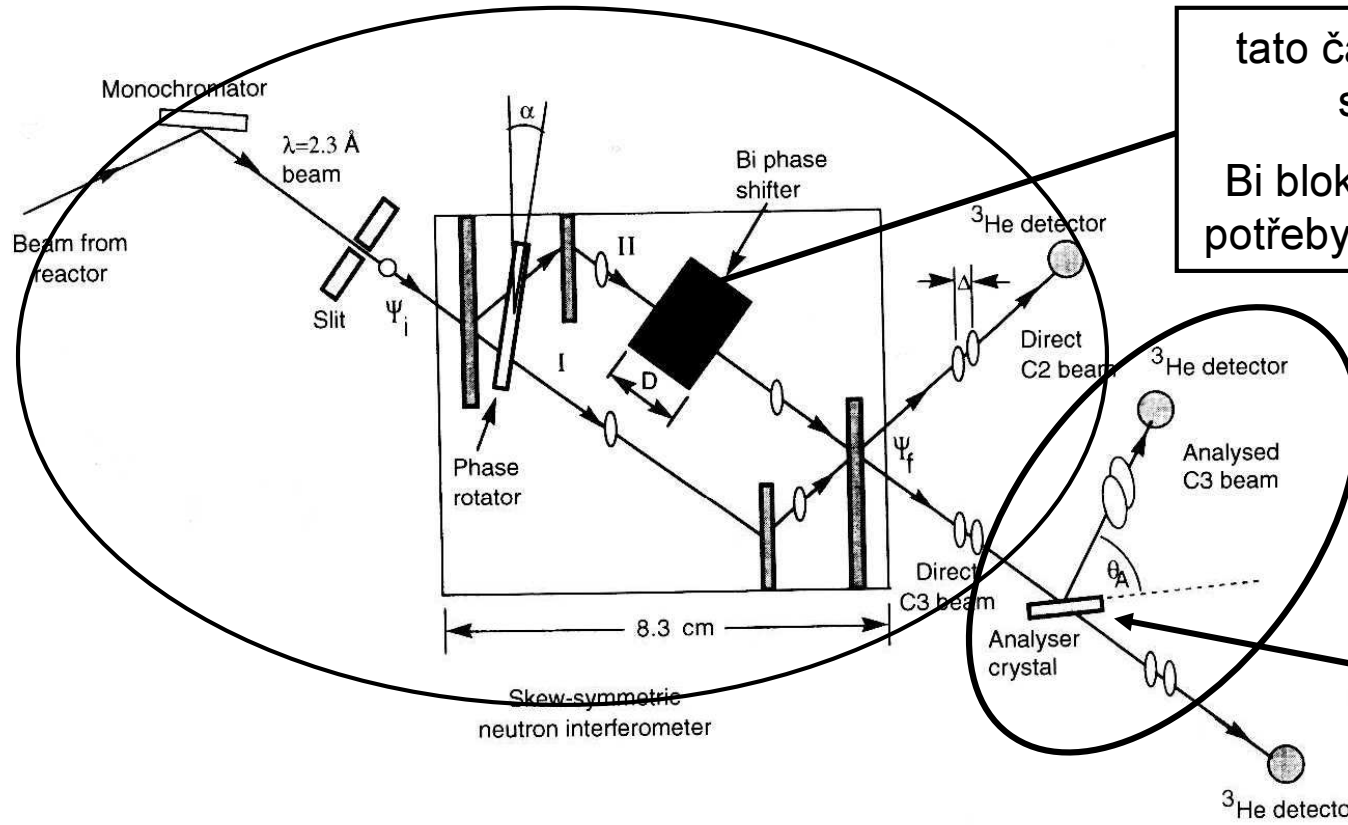
Dodatečný výběr impulsu ... opravdu pěkný kvantový efekt



tato část aparatury je
standardní

Bi blok vyvolává podle
potřeby i velká zpoždění

Dodatečný výběr impulsu ... opravdu pěkný kvantový efekt



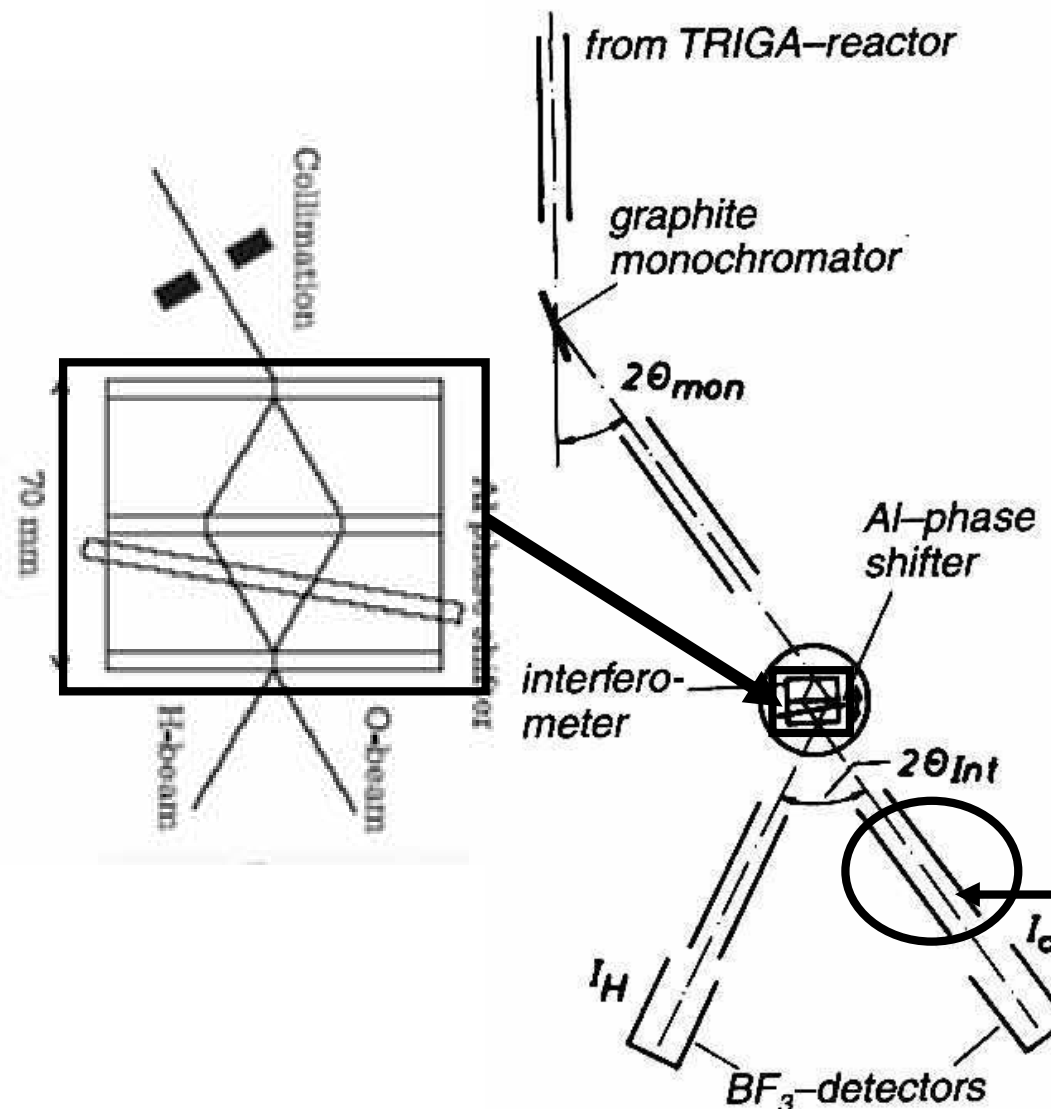
tato část aparatury je standardní

Bi blok vyvolává podle potřeby i velká zpoždění

vycházející neutrony nejdou rovnou do detektoru, ale ještě jednou jsou analysovány podle hybnosti

B7 Celé zařízení kolem neutronového interferometru

schema z r. 1974

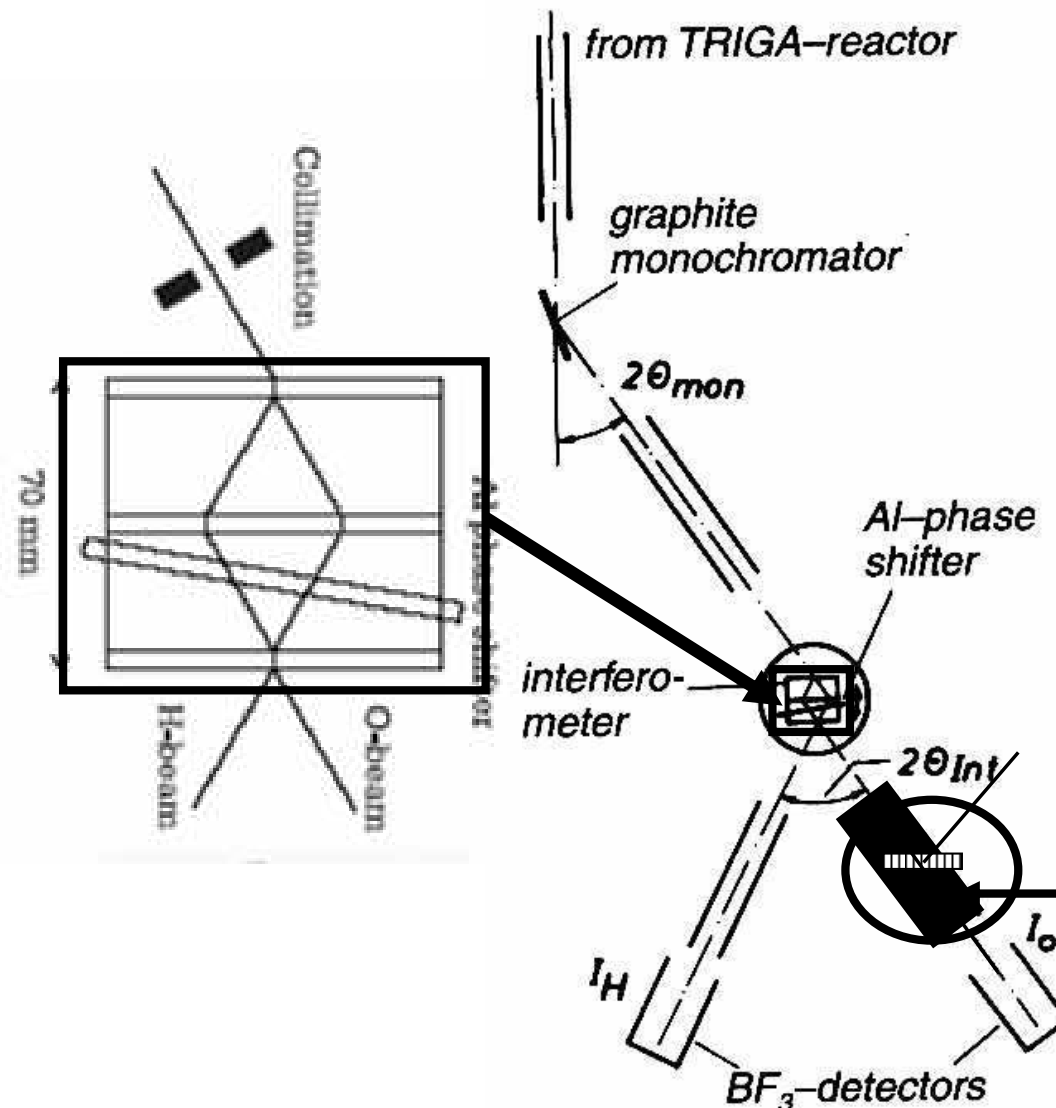


KOMPLEMENTARITA V PRAXI

termalisace	lokalis.	r
kolimace	částice	
monochromatisace	vlna	p
dopadající svazek	neurčité	
vlastní experiment	vlna	p
interference		
vycházející svazky	neurčité	
detekce – redukce	lokalis.	r
ztráta kvantové	částice	
koherence		

Celé zařízení kolem neutronového interferometru

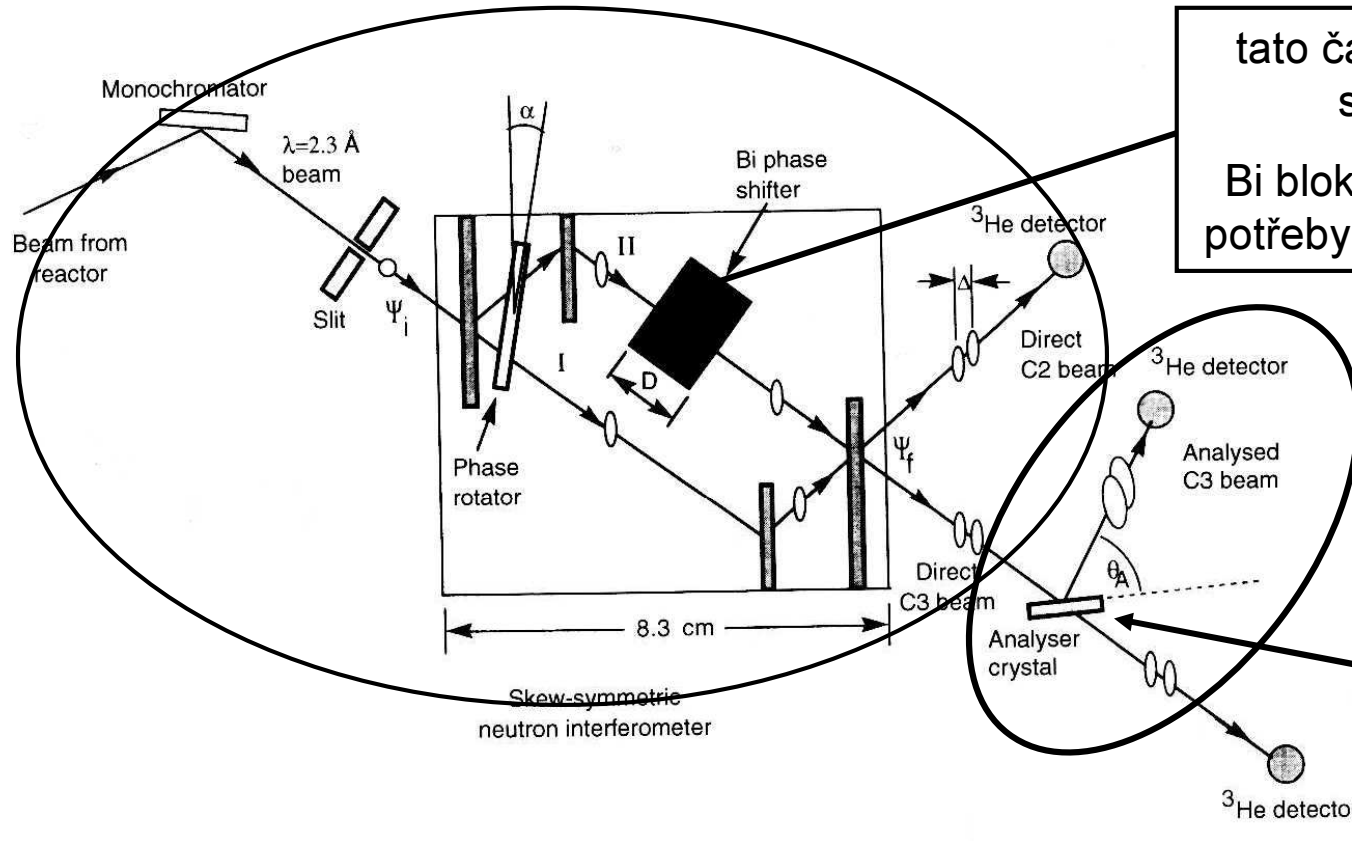
schema z r. 1974



KOMPLEMENTARITA V PRAXI

termalisace	lokalis.	r
kolimace	částice	
monochromatisace	vlna	p
dopadající svazek	neurčité	
vlastní experiment	vlna	p
interference		
dodatečně filtrované		
vycházející svazky	vlna	p
detekce – redukce	lokalis.	r
ztráta kvantové	částice	
koherence		

Dodatečný výběr impulsu ... opravdu pěkný kvantový efekt



tato část aparatury je standardní

Bi blok vyvolává podle potřeby i velká zpoždění

vycházející neutrony nejdou rovnou do detektoru, ale ještě jednou jsou analysovány podle hybnosti

Zachytí se tak zdánlivě již ztracená koherence klubek, která se viditelně vůbec nepřekrývají, ale mají ovšem stejné složky v impulsové representaci

Výsledky experimentu

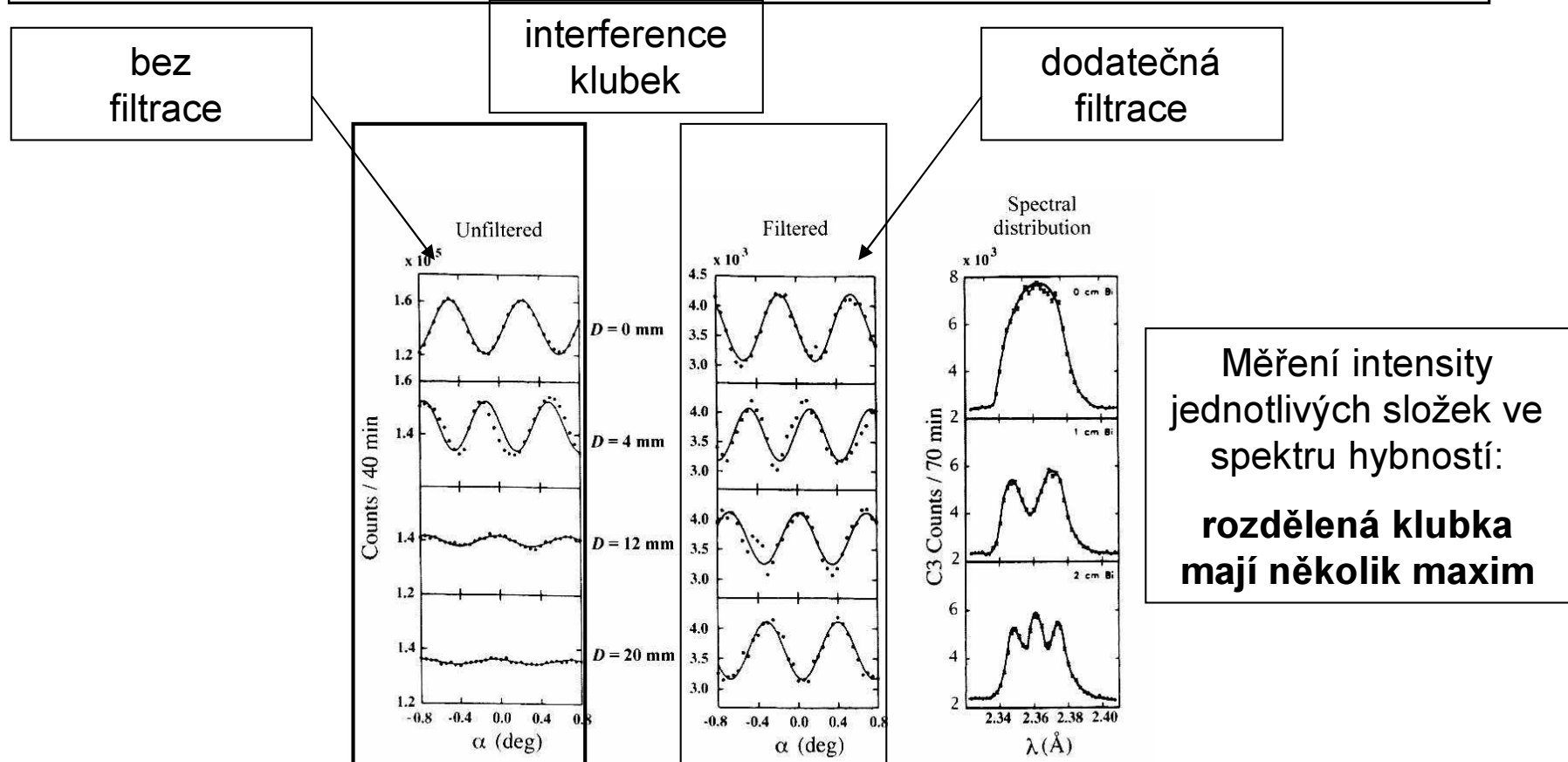
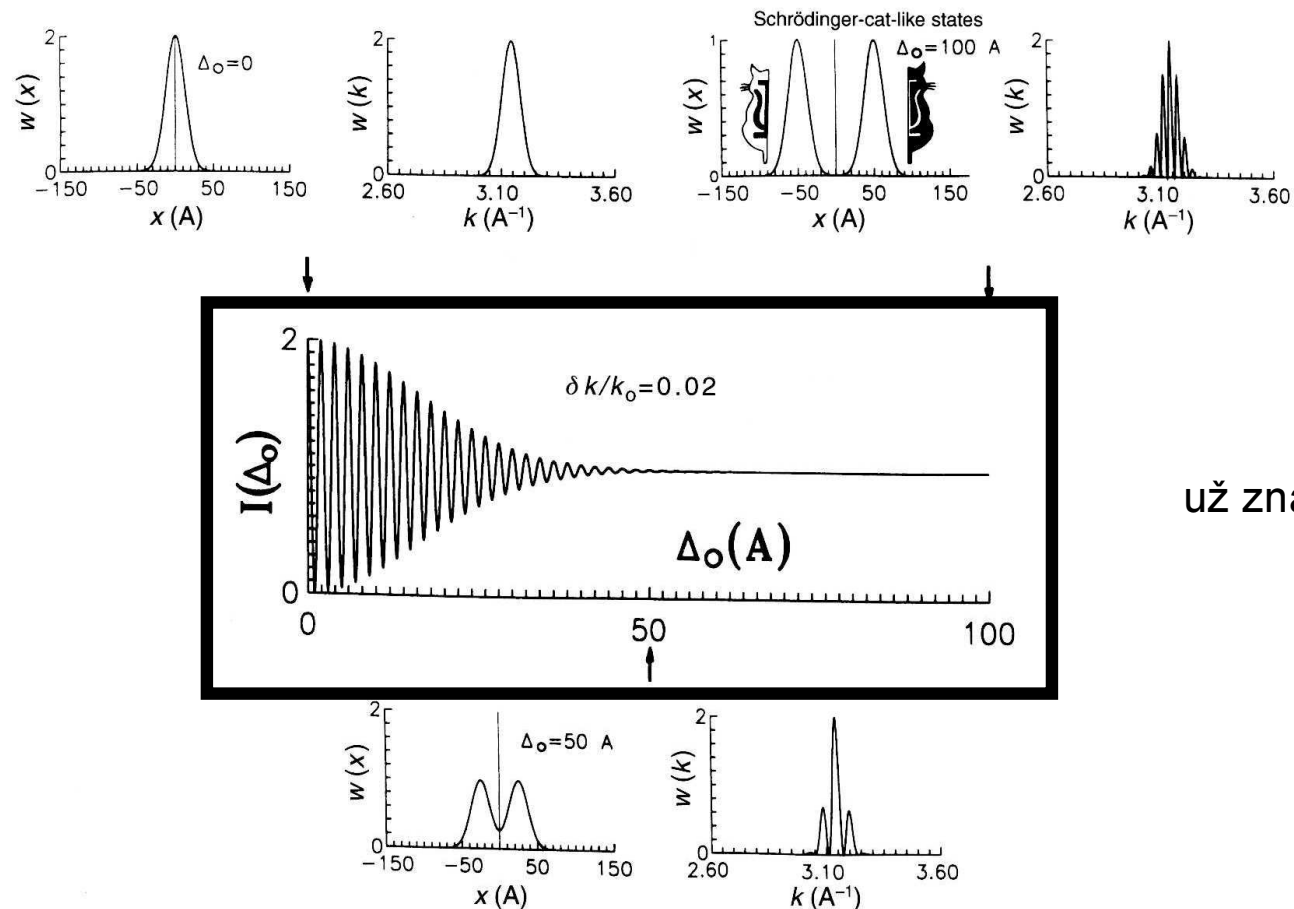
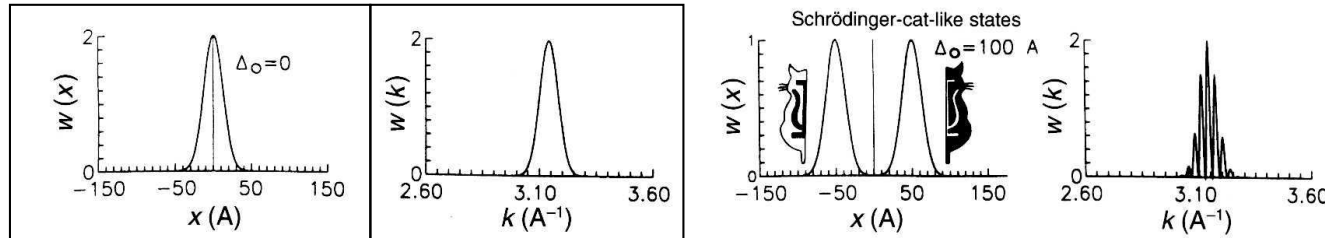


FIGURE 2.17 Measured interference pattern and momentum distributions in the case of momentum postselection [69].

Interpretace postselekčního experimentu



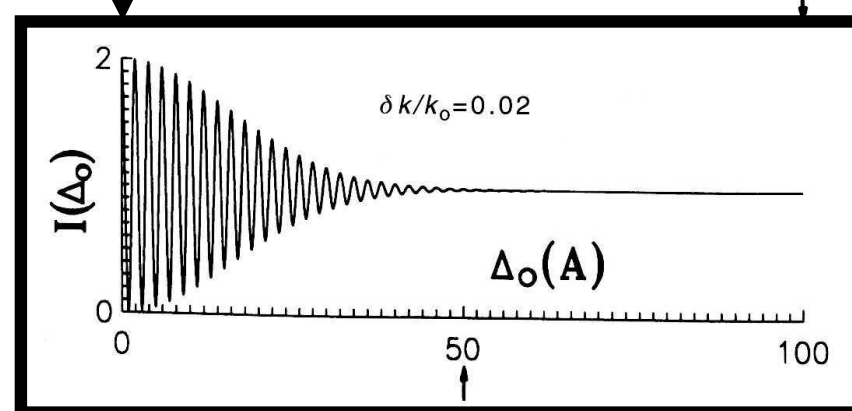
Interpretace postselekčního experimentu



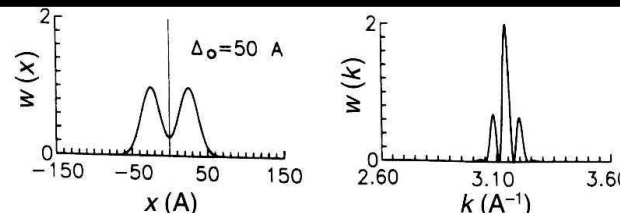
nulový posuv

Gaussovské klubko
o šíři 50\AA

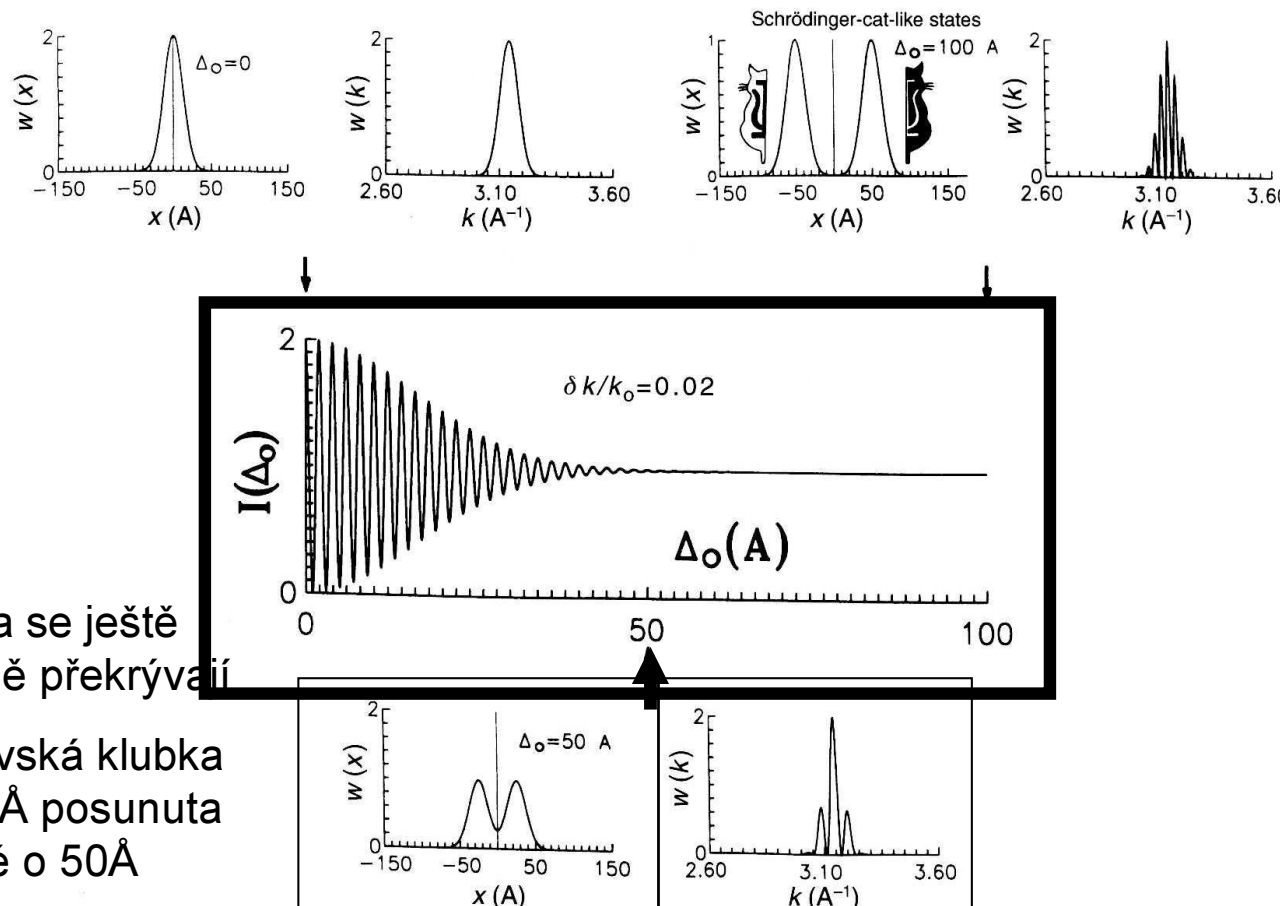
odpovídá
Gaussovské
rozložení impulsů
kolem střední
hodnoty



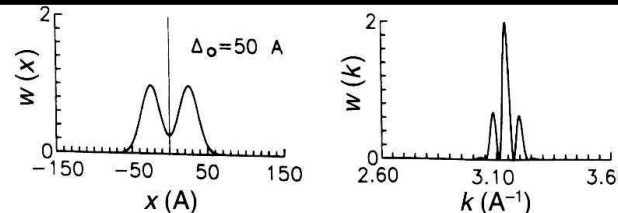
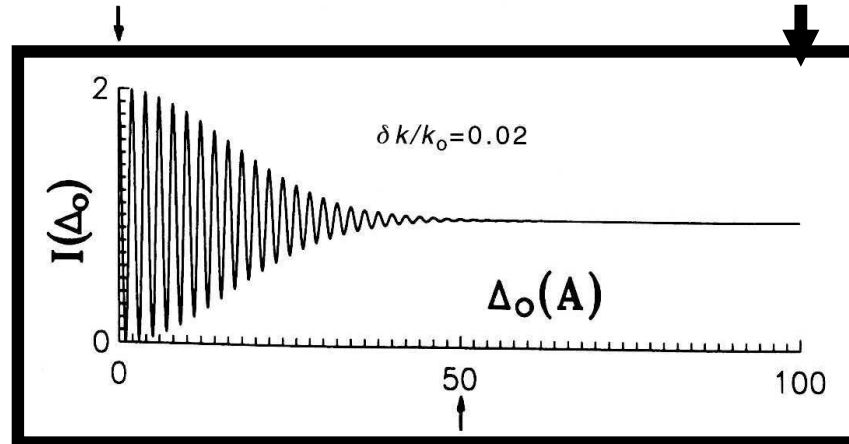
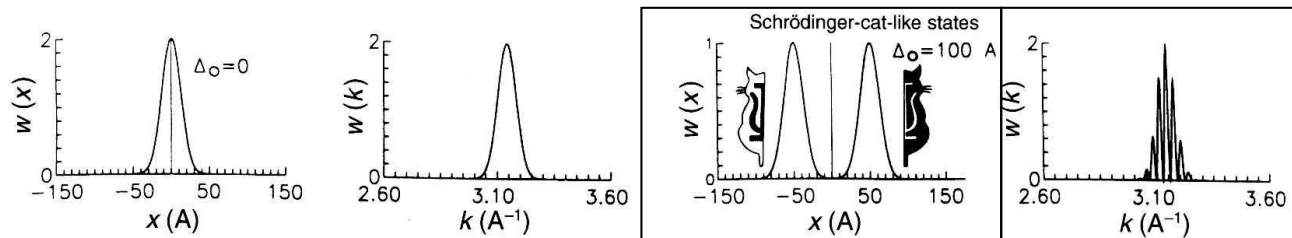
už známe



Interpretace postselekčního experimentu



Interpretace postselekčního experimentu



klubka se nepřekrývají
a neinterferují spolu

Gaussovská klubka o
šíři 50 Å posunuta také
o 100 Å

odpovídá silně
osculující rozložení
impulsů kolem střední
hodnoty; obálka je
stále týž Gauss, avšak
filtrování bude stále
náročnější

Autoři označují obě
klubka jako stavy
Schrödingerovy kočky

Proč impulsové rozdělení osciluje

$$\Psi_1(x,t) + \Psi_2(x,t) =$$

$$e^{i(k_0x - \omega(k_0)t)} \underbrace{\int_{2\pi} \frac{dq}{2\pi} \cdot a(q) \cdot (1 + e^{i\Delta\Phi(k_0)} e^{iq \cdot \frac{d}{dk}\Delta\Phi(k_0)})}_{\text{impulsové rozdělení=} \\ \text{Gaussovka} \times \text{oscilující faktor}} e^{iq(x - v_0t)}$$



Rychlosť oscilací je pŕímo úměrná prostorové vzdálenosti obou klubek

Proč tomu říkají „stavy Schrödingerovy kočky“

trochu nadnesené

Máme klubko rozdělené experimentem na dvě části,

natolik, že

nepozorujeme již interferenci,

v principu ale stále ještě kvantově koherentní!!

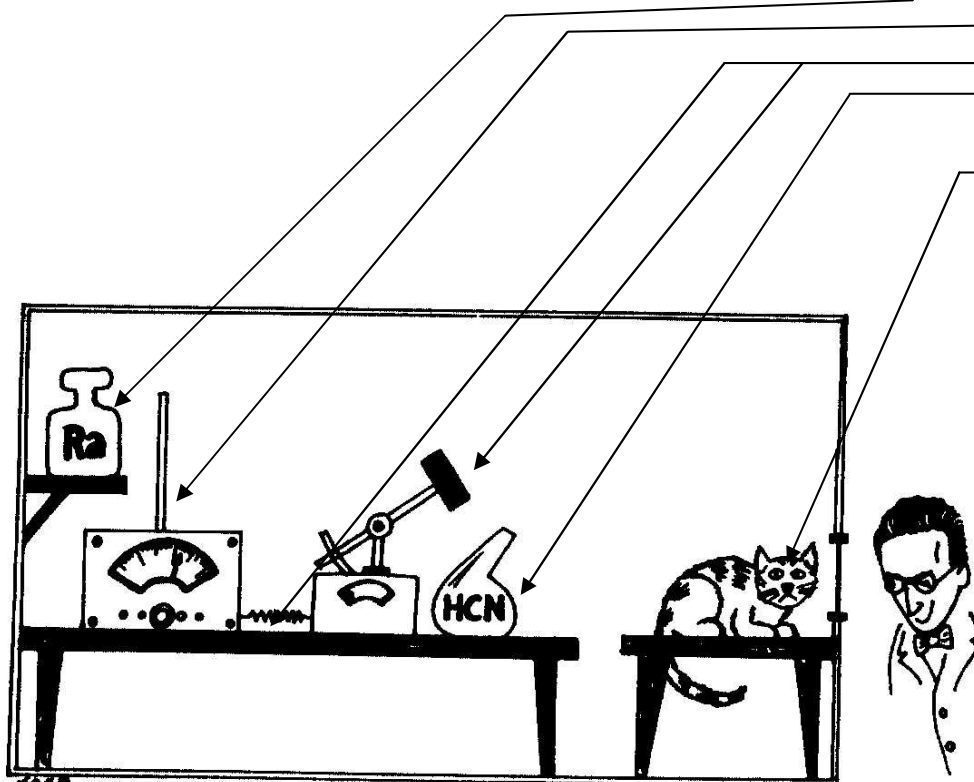
Postselekční experiment prokazuje, že

vzájemná koherence je stále zachována,

záleží jen na otázce, kterou položíme

Random thoughts around the Schrödinger Cat

The famous paragraph (translated to English) *Naturwiss.* 23 (1935) 807 ff taken from [1] p. 152 ff



One can even set up quite ridiculous cases. A cat is penned up in a steel chamber, along with the following diabolical device (which must be secured against direct interference by the cat): in a Geiger counter there is a tiny bit of radioactive substance, so small, that *perhaps* in the course of one hour one of the atoms decays, but also, with equal probability, *perhaps* none; if it happens, the counter tube discharges and through a relay releases a hammer which shatters a small flask of hydrocyanic acid. If one has left this entire system to itself for an hour, one would say that the cat still lives *if* meanwhile no atom has decayed. The first atomic decay would have poisoned it. The ψ -function of the entire system would express this by having in it the living and the dead cat (pardon the expression) mixed or smeared out in equal parts.

This seems to be clear, but people read it the way they liked.

They probably skipped the paragraph just before ...

Figure from [4] p. 138

ring" seems simply wrong. The state of a radioactive nucleus is presumably blurred in such degree and fashion that neither the instant of decay nor the direction, in which the emitted α -particle leaves the nucleus, is well-established. Inside the nucleus, blurring doesn't bother us. The emerging particle is described, if one wants to explain intuitively, as a spherical wave that continuously emanates in all directions from the nucleus and that impinges continuously on a surrounding luminescent screen over its full expanse. The screen however does not show a more or less constant uniform surface glow, but rather lights up at *one* instant at *one* spot—or, to honor the truth, it lights up now here, now there, for it is impossible to do the experiment with only a single radioactive atom. If in place of the luminescent screen one uses a spatially extended detector, perhaps a gas that is ionised by the α -particles, one finds the ion pairs arranged along rectilinear columns,⁵ that project backwards on to the bit of radioactive matter from which the α -radiation comes (C.T.R. Wilson's cloud chamber tracks, made visible by drops of moisture condensed on the ions).

are already classical and their wave functions are doubtful. Tacitly, people usually simplify the system to a two-state nucleus and a two-state « cat »:

ATOM	$ \bullet\rangle$	before decay	$ \bullet\rangle$	after decay
CAT	$ \text{cat}\rangle$	alive	$ \text{+}\rangle$	dead

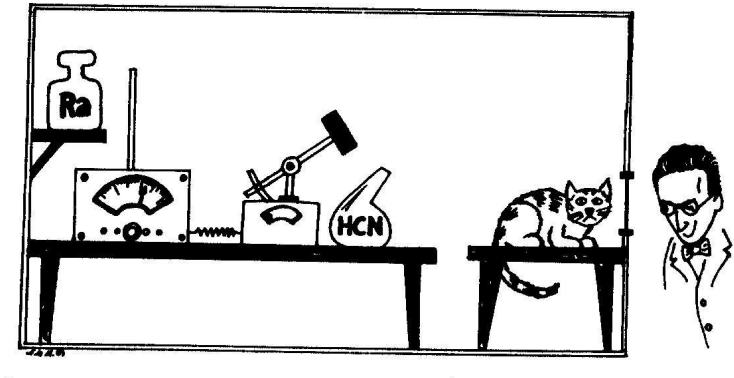
What was on ES's mind:

Recognition that the idea (alas, his own) of a blurred cloud described by the Ψ -function is not correct for an individual event as measured by a classical instrument; as put by B. d'Espagnat,

« ... to picture it more vividly, Schrödinger, in the account he gave of it, replaced the instrument pointer by a cat » [2] p.159

No doubt, ES sold his notion all too well, but the formulation was somewhat overdone. In the chain, the Geiger + relay links

What is wrong then?



Is it the observer,
who causes the
«reduction»??
meaning he kills
the pointer cat??



Or may be his friend, as
suggests Wigner [1], p. 168

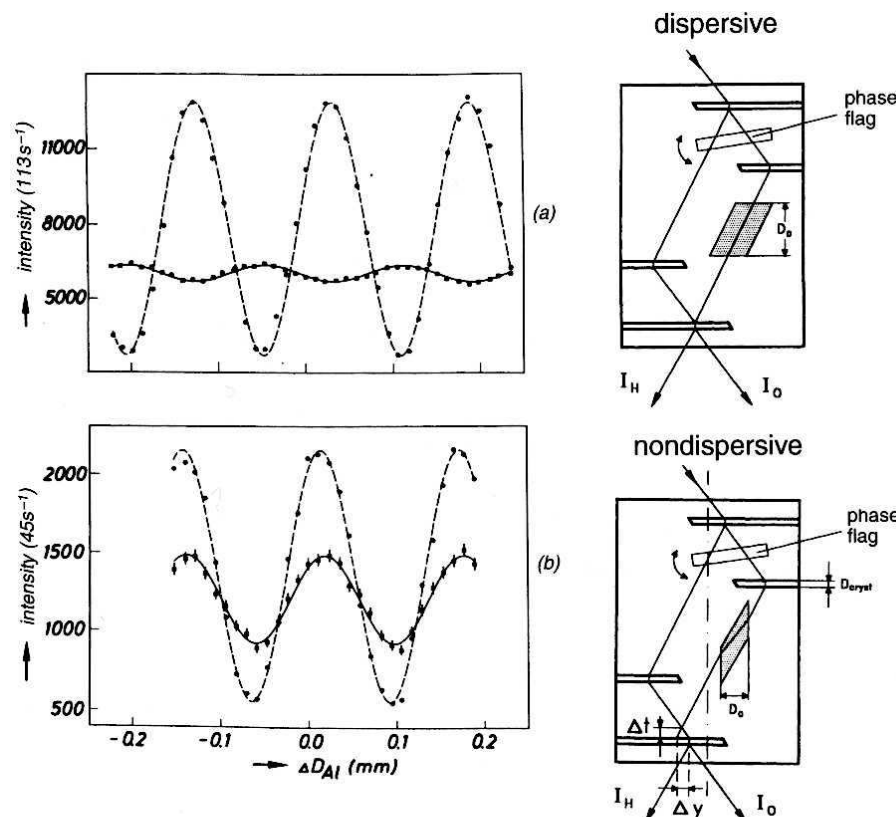
**von Neumann
chain
is
Cartesian dualism at
its extreme**

Other questions (about the cat):

- Doesn't a cat have a mind herself?
- A cat is an open dissipative system with non-zero temperature. Should we not use a density matrix (... *ridiculous*)
- Or does it possess a wave-function?

The end

Intensita na výstupu interferometru II: stacionární smíšený stav



Kvalitní monochromatisace
zeslabení řádu 256 proti řádu 0
hlavní důvod: disperze Braggova úhlu

Vtipná kompenzace
dráha neutronu vzorkem závisí správně
na Braggově úhlu

FIGURE 2.3 Interference pattern observed at high order ($m = 256$) with a dispersively (a) and a nondispersively (b) arranged sample [14] (dashed lines correspond to measurements at low order).

Pro srovnání: zvukové vlny ve vzduchu